

偏微分方程数值解

中国科学技术大学 数学学院

张 梦 萍

办公室：东区-管理科学楼1227室

0551-63601855; mpzhang@ustc.edu.cn; 2019-09

1 模型方程—对流方程

本章以模型方程的初值问题为例，介绍有限差分方法的构造，及其基本性质和理论

1.1 对流方程的初值问题

考虑常系数的对流方程的初值问题：

$$\begin{cases} u_t = u_x & -\infty < x < \infty, t > 0 \\ u(x, 0) = f(x) & -\infty < x < \infty \end{cases} \quad (*)$$

其中 $f(x)$ 是光滑的 2π 周期的周期函数

1. 初值是一个谐波，对流方程的初值问题(*)的解

即初值为： $f(x) = \frac{1}{\sqrt{2\pi}} e^{i\omega x} \hat{f}(\omega)$

假设解为（即：与初值同类型的解—谐波解）：

$$u(x, t) = \frac{1}{\sqrt{2\pi}} e^{i\omega x} \hat{u}(\omega, t); \text{ 代入方程及初值得: } \begin{cases} \frac{d\hat{u}}{dt} = i\omega \hat{u} \\ \hat{u}(\omega, 0) = \hat{f}(\omega) \end{cases} \Rightarrow \hat{u}(\omega, t) = e^{i\omega t} \hat{f}(\omega)$$

$$\Rightarrow: u(x, t) = \frac{1}{\sqrt{2\pi}} e^{i\omega(x+t)} \hat{f} = f(x+t) \text{ 是问题的一个解}$$

2. 一般情况的初值（如：初值为 2π 周期的光滑函数），对流方程的初值问题(*)的解

即 $f(x)$ 是光滑的 2π 周期的周期函数，则有： $f(x) = \frac{1}{\sqrt{2\pi}} \sum_{\omega=-\infty}^{\infty} e^{i\omega x} \hat{f}(\omega)$

$$\Rightarrow: u(x, t) = \frac{1}{\sqrt{2\pi}} \sum_{\omega=-\infty}^{\infty} e^{i\omega(x+t)} \hat{f} = f(x+t)$$

\Rightarrow ：对于固定的 t ，关于 $u(x, t)$ 的Parseval关系成立，即：

$$\|u(\cdot, t)\|^2 = \sum_{\omega=-\infty}^{\infty} |e^{i\omega(x+t)} \hat{f}|^2 = \sum_{\omega=-\infty}^{\infty} |\hat{f}|^2 = \|f(\cdot)\|^2。$$

其中 $\|u\|^2$ 常称为 u 的能量。

由此可见：该问题的能量是模守恒的。

1.2 对流方程的初值问题的有限差分方法—二层格式 1 模型方程—对流方程

此外，由方程可得： $uu_t = uu_x$ ，

$$\Rightarrow: \frac{d}{dt} \int_0^{2\pi} \left(\frac{u^2}{2}\right) dx = \int_0^{2\pi} \frac{d}{dx} \left(\frac{u^2}{2}\right) dx = \frac{u^2}{2} \Big|_0^{2\pi} = 0$$

\Rightarrow ：本问题的近似方法都应该接近能量是模守恒的

3. 对流方程的初值问题(*)解的特性

$$\frac{du}{dt} \Big|_l = \left(\frac{\partial u}{\partial t} + \frac{dx}{dt} \frac{\partial u}{\partial x} \right) \Big|_l = \left(\frac{\partial u}{\partial t} - \frac{\partial u}{\partial x} \right) \Big|_l = 0, \text{ 其中 } l \text{ 为: } \frac{dx}{dt} = -1,$$

即： $x + t = \text{常数}$

\Rightarrow ：(*)解沿 l 是不变的，即： $u(x, t) = f(x + t)$ ； l 称为 $u_t = u_x$ 的特征线。这儿 l 为直线 \Rightarrow ：初值沿特征线传播，传播速度为： $\frac{dx}{dt} = -1$ 是有限的

\Rightarrow ：问题(*)存在特征线，且特征线为直线，解沿特征线是不变的。初值沿特征线以有限速度传播。

1.2 对流方程的初值问题的有限差分方法—二层格式

1. 剖分

由于本问题是 2π 周期的，所以将区域 $[0, 2\pi]$ 用 $N + 1$ 个节点 x_j 均匀剖分，即： $x_j = j \cdot h$ ， $j = 0, 1, \dots, J$ ；空间步长为： $h = \frac{2\pi}{J}$ ；
时间离散：均匀剖分，取时间步长为 Δt ， $t_n = n \cdot \Delta t$ ， $n = 0, 1, \dots, N$ 。

格点函数值：解 $u(x, t)$ 在 (x, t) 平面上的格点 $P = (x_j, t_n)$ 处的值记为： $u_j^n = u(x_j, t_n)$ ；近似值记为： $v_j^n \simeq u_j^n$ ；

由于 u 是 2π 周期的，所以 v 也是 2π 周期的；故有： $v_j^n = v_{j+J}^n$

2. 方程离散—差商近似微商：

1阶导数 \approx 1阶差商（前差-F、后差-B、中心差-C）对时间的1阶导数用前差近似，对空间的1阶导数用中心差近似；即： $u_t|_{j,n} \simeq$

$$\frac{v_j^{n+1} - v_j^n}{\Delta t}, \quad u_x|_{j,n} \simeq \frac{v_{j+1}^n - v_j^n}{2h};$$

\Rightarrow : FTCS 格式 (有限差分方法、有限差分方程、离散方程):

$$\begin{cases} v_j^{n+1} = v_j^n + \frac{\Delta t}{2h}(v_{j+1}^n - v_j^n) = (I + \Delta t D_0)v_j^n \equiv Qv_j^n \\ v_j^0 = f_j = f(x_j), \quad j = 0, \dots, J \end{cases} \quad (*1)$$

3. 差分方程(*1)的解

a. 初值是一个谐波, (*1)的近似解

$$\text{取: } f_j = f(x_j) = \frac{1}{\sqrt{2\pi}} e^{i\omega x_j} \hat{f}(\omega), \quad j = 0, 1, \dots, J$$

假设近似解也为一个谐波 (即: 与初值同类型的解—谐波解): $v_j^n = \frac{1}{\sqrt{2\pi}} e^{i\omega x_j} \hat{v}^n(\omega)$, $j = 0, 1, \dots, J$; 代入差分方程得:

$$e^{i\omega x_j} \hat{v}^{n+1}(\omega) = (e^{i\omega x_j} + \frac{\lambda}{2}(e^{i\omega x_{j+1}} - e^{i\omega x_{j-1}})) \hat{v}^n(\omega)$$

其中 $\lambda = \frac{\Delta t}{h}$ 。令 $\xi = \omega h$, 则上式可以写为:

$$\hat{v}^{n+1}(\omega) = (1 + i\lambda \sin \xi) \hat{v}^n(\omega) = \hat{Q} \hat{v}^n(\omega)$$

, 其中 $\hat{Q} = 1 + i\lambda \sin \xi$ 称为算子 $Q = (I + \Delta t D_0)$ 的放大因子, 或符号。

$$\Rightarrow: \hat{v}^n(\omega) = \hat{Q} \hat{v}^{n-1}(\omega) = \dots = \hat{Q}^n \hat{v}^0(\omega) = \hat{Q}^n \hat{f}(\omega)。$$

显然, 我们可得到:

$$v_j^n = \frac{1}{\sqrt{2\pi}} e^{i\omega x_j} \hat{v}^n(\omega) = \frac{1}{\sqrt{2\pi}} e^{i\omega x_j} \hat{Q}^n \hat{f}(\omega) = \frac{1}{\sqrt{2\pi}} (1 + i\lambda \sin \xi)^n e^{i\omega x_j} \hat{f}(\omega)$$

考虑: ω 固定, $\Delta t, h \rightarrow 0$ 时, v_j^n 是否收敛于 PDE 初值问题的解 u_j^n 。

1.2 对流方程的初值问题的有限差分方法—二层格式 1 模型方程—对流方程
 ω 固定, $h \rightarrow 0$, $\Rightarrow: \xi = \omega h \rightarrow 0$ 。即只要讨论 ξ 为小量的情形。

$$\begin{aligned}\hat{Q}^n &= (1 + i\lambda \sin \xi)^n = (1 + i\omega \Delta t + O(\Delta t h^2 \omega^3))^n \\ &= (1 + O(\Delta t^2 \omega^2 + \Delta t \cdot h^2 \omega^3))^n e^{i\omega \Delta t \cdot n} \\ &= (1 + O(n \Delta t^2 \omega^2 + n \Delta t \cdot h^2 \omega^3)) e^{i\omega t_n} = (1 + O((\Delta t \omega^2 + \Delta t^2 \omega^3) t_n)) e^{i\omega t_n} \\ \Rightarrow: v_j^n &= \frac{1}{\sqrt{2\pi}} (1 + O((\Delta t \omega^2 + \Delta t^2 \omega^3) t_n)) e^{i\omega t_n + x_j} \hat{f}(\omega) \\ \text{所以有: } \lim_{\Delta t, h \rightarrow 0} v_j^n &= \frac{1}{\sqrt{2\pi}} e^{i\omega t_n + x_j} \hat{f}(\omega) = u(x_j, t_n); \\ \text{即: 本差分格式逐点收敛于本定解问题; 或本差分格式的解} \\ &\text{逐点收敛于本定解问题的解。}\end{aligned}$$

b. 初值可以用一个三角插值表示, (*1)的近似解

$$\begin{aligned}\text{取: } u(x, 0) = f(x) &= \frac{1}{\sqrt{2\pi}} \sum_{\omega=-M}^M e^{i\omega x} \hat{f}(\omega) \\ \text{假设近似解也表示为: } v_j^n &= \frac{1}{\sqrt{2\pi}} \sum_{\omega=-M}^M e^{i\omega x_j} \hat{v}^n(\omega); \\ \text{代入差分方程, 根据叠加原理得:} \\ v_j^n &= \frac{1}{\sqrt{2\pi}} \sum_{\omega=-M}^M (1 + i\lambda \sin \xi)^n e^{i\omega x_j} \hat{f}(\omega) \\ &= \frac{1}{\sqrt{2\pi}} \sum_{\omega=-M}^M (1 + O((\Delta t \omega^2 + \Delta t^2 \omega^3) t_n)) e^{i\omega t_n + x_j} \hat{f}(\omega) \\ \text{所以有: } \lim_{\Delta t, h \rightarrow 0} v_j^n &= f(x_j + t_n) = u(x_j, t_n)\end{aligned}$$

c. 讨论初值出现小扰动时, (*1)的近似解的变化。

当初值 $u(x, 0) = 0$ 时, 其解为 $u(x, t) = 0$ 。若初值有小扰动,

$$\text{如: } \hat{f}(\omega) = \begin{cases} \varepsilon & \omega = \frac{J}{4} \\ 0 & \text{others} \end{cases}$$

由: $\hat{v}^n(\omega) = (1 + i\lambda \sin \xi)^n \hat{f}(\omega)$, 得到:

$$\hat{v}^n(\frac{J}{4}) = (1 + i\lambda \sin(\frac{2\pi}{J+1} \frac{J}{4}))^n \varepsilon \sim (1 + i\lambda)^n \varepsilon$$

由 $n = \frac{t_n}{\Delta t}$ 可得: $|\hat{v}^{\frac{t_n}{\Delta t}}(\frac{J}{4})|^2 \sim (1 + i\frac{\Delta t}{h})^{2n} \varepsilon^2 = (1 + (\frac{\Delta t}{h})^2)^{\frac{t_n}{\Delta t}} \varepsilon^2$ 。

当取 $t_n = 1$, 即: $n = \frac{1}{\Delta t}$, 则有: $|\hat{v}^{\frac{1}{\Delta t}}(\frac{J}{4})|^2 \sim (1 + (\frac{\Delta t}{h})^2)^{\frac{1}{\Delta t}} \varepsilon^2$

1.2 对流方程的初值问题的有限差分方法—二层格式 1 模型方程—对流方程

\Rightarrow : 若固定 $\frac{\Delta t}{h}$, $\Delta t, h \rightarrow 0$, 则有: $|\hat{v}^{\frac{1}{\Delta t}}(\frac{J}{4})| \rightarrow \infty$ 。

这个“增长”可以是任意快的, 如: 取 $\lambda = \frac{\Delta t}{h} = 10$, $\Delta t = 10^{-5}$, 则有: $|\hat{v}^{\frac{1}{\Delta t}}(\frac{J}{4})|^2 \sim 100^{10^5} \varepsilon^2$, \Rightarrow : 结果无效!

d. 稳定性

在实际计算中, 误差是不可避免的。

Definition 1.1: 考虑一种数值方法, 若满足:

$\lim_{\Delta t, h \rightarrow 0} \sup_{0 \leq t_n \leq T} |\hat{Q}^n| \leq K(T)$, 则称该方法是稳定的

Example 1.1 讨论(*1) (即: FTCS格式) 的稳定性

取一个谐波解, 即: $v_j^n = \frac{1}{\sqrt{2\pi}} e^{i\omega x_j} \hat{v}^n(\omega)$,

代入差分方程得放大因子: $\hat{Q} = 1 + i\lambda \sin \xi$, $\xi = \omega h$

\Rightarrow : $|\hat{Q}|^n = |1 + i\lambda \sin \xi|^n$ 。

若 $\Delta t \sim h$, 即: $\lambda = \frac{\Delta t}{h} = \text{常数} > 0$, 且 $t_n \in [0, T]$

\Rightarrow : 无法找到 $K(T)$ 满足稳定性要求。

\Rightarrow : 此时, 该方法是不稳定的

若 $\Delta t \sim h^2$, 即: $\lambda = \frac{\Delta t}{h^2} = c = \text{常数} > 0$, 且 $t_n \in [0, T]$

\Rightarrow : $|\hat{Q}|^n = |1 + \lambda^2 \sin^2(\xi)|^n \leq (1 + (\frac{\Delta t}{h}))^2)^n = (1 + c\Delta t)^n$

$\leq (e^{c\Delta t})^n = e^{ct_n} \leq e^{cT} \equiv K(T)$ 。 \Rightarrow : 此时, 该方法是稳定的

由此可见, FTCS格式是不适用的。一方面为了保持稳定性, Δt 的选取需要满足: $\lambda \frac{\Delta t}{h^2} = c = \text{常数} > 0$, 导致 Δt 很小, cost 很大; 另一方面, 对于一个大的 t , e^{ct} 可以将小扰动的很大, 此时, 解也无意义。

e. FTCS格式的修正—加人工粘性

粘性对应的是2阶导数项, “加人工粘性”相当于在方程上增

1.2 对流方程的初值问题的有限差分方法—二层格式 1 模型方程—对流方程
加2阶导数项；也就是在差分方程上增加 $\sigma \Delta t h D_+ D_- v_j^n$ ，其中 σ 是常数。

$$\text{修改后的差分方程为: } v_j^{n+1} = (I + \Delta t D_0) v_j^n + \sigma \Delta t h D_+ D_- v_j^n \\ \Rightarrow: \frac{v_j^{n+1} - v_j^n}{\Delta t} = D_0 v_j^n + \sigma h D_+ D_- v_j^n。$$

$$\text{对应的方程为: } u_t = u_x + \sigma h u_{xx}。$$

当 $\Delta t, h \rightarrow 0$ 时，上面方程收敛于PDE: $u_t = u_x$ 。

\Rightarrow : 当 $\Delta t, h \rightarrow 0$ 时，差分方程收敛于偏微分方程。

下面的问题是：选择合适的 σ 、 Δt 、 h ；使得 $|\hat{Q}| \leq 1$ ，
则有： $\sup_{t_n, \omega, \Delta t, h} |\hat{Q}^n| \leq K(T)$ ，即满足稳定性要求

将 $v_j^n = \frac{1}{\sqrt{2\pi}} e^{i\omega x_j} \hat{v}^n(\omega)$ 代入差分方程，得：

$$\hat{v}^{n+1} = (1 + i\lambda \sin(\xi) - 4\sigma \lambda \sin^2(\frac{\xi}{2})) \hat{v}^n = \hat{Q} \hat{v}^n$$

$$\Rightarrow: \hat{Q} = 1 + i\lambda \sin(\xi) - 4\sigma \lambda \sin^2(\frac{\xi}{2})$$

$$\Rightarrow: |\hat{Q}|^2 = (1 - 4\sigma \lambda \sin^2(\frac{\xi}{2}))^2 + (\lambda \sin(\xi))^2$$

$$= 1 - 2(2\sigma - \lambda)(2\lambda \sin^2(\frac{\xi}{2})) + (4\sigma^2 - 1)(2\lambda \sin^2(\frac{\xi}{2}))^2,$$

取 $y = 2\lambda \sin^2(\frac{\xi}{2}) > 0$ 。要使得 $|\hat{Q}|^2 \leq 1$ ，则要求：

$$y(-2(2\sigma - \lambda) + (4\sigma^2 - 1)y) \leq 0,$$

$$\text{即: } -2(2\sigma - \lambda) + (4\sigma^2 - 1)y \leq 0 \Rightarrow \begin{aligned} & \cancel{-(2\sigma - \lambda)} - (4\sigma^2 - 1)\cancel{\lambda \sin^2} \\ & \geq (2\sigma - \lambda) - (4\sigma^2 - 1)\lambda \geq 0 \end{aligned}$$

若 $\sigma \leq \frac{1}{2}$ ， $\Rightarrow: 4\sigma^2 - 1 \leq 0$ ，再取 $2\sigma - \lambda \geq 0$ ，

则：上面不等式显然成立。由此可得： $0 < \lambda \leq 2\sigma \leq 1$

若 $\sigma > \frac{1}{2}$ ，取 $\sin^4(\frac{\xi}{2}) = \sin^2(\frac{\xi}{2})$ ，则由 $|\hat{Q}| \leq 1$ ，可得：

$$2\sigma - \lambda - 4\sigma^2 \lambda + \lambda \geq 0; \Rightarrow: 2\sigma \lambda \leq 1。$$

$$\text{即: } \sigma \geq \frac{1}{2}, \text{ 且 } \sigma \lambda \leq \frac{1}{2}$$

f. 二种常用的格式

Lax-Friedrich 格式：（取： $\sigma = \frac{h}{2\Delta t} = \frac{1}{2\lambda}$ ， $\lambda = \frac{\Delta t}{h}$ ）

修改后的差分方程为： $v_j^{n+1} = (I + \Delta t D_0)v_j^n + \sigma \Delta t h D_+ D_- v_j^n$

$$\Rightarrow : \frac{v_j^{n+1} - v_j^n}{\Delta t} = D_0 v_j^n + \sigma h D_+ D_- v_j^n .$$

1.2 对流方程的初值问题的有限差分方法——二层格式

1 模型方程——对流方程

$$\underline{v_j^{n+1} = \frac{1}{2}(v_{j-1}^n + v_{j+1}^n) + \Delta t D_0 v_j^n = (I + \Delta t D_0)v_j^n + \frac{h^2}{2} D_+ D_- v_j^n}$$

当 $\lambda \leq 1$ 时，有： $|\hat{Q}| \leq 1$

注意：与FTCS格式比较，发现：此方法形式上仅是将FTCS格式中的 v_j^n 改为： $\frac{1}{2}(v_{j-1}^n + v_{j+1}^n)$ ；即做了一个空间平均。

Lax-Wendroff格式：（取： $\sigma = \frac{1}{2}\lambda = \frac{\Delta t}{2h}$ ）

$$\underline{v_j^{n+1} = v_j^n + \Delta t D_0 v_j^n + \frac{\Delta t^2}{2} D_+ D_- v_j^n}$$

当 $\lambda \leq 1$ 时，有： $|\hat{Q}| \leq 1$

g. 考虑一般的差分近似（单步格式）

$$\begin{cases} v_j^{n+1} = Q v_j^n & Q = \sum_{\mu=-r}^s A_\mu(\Delta t, h) E^\mu \\ v_j^0 = f_j \end{cases}$$

其中 A_μ 是 $\Delta t, h$ 的有理函数， $r, s \geq 0$ ，且是整数；

即：用 $r + s + 1$ 个函数 $v_{j-r}^n, \dots, v_{j+s}^n$ 计算 v_j^{n+1} 。

再次考虑谐波解： $v_j^n = \frac{1}{\sqrt{2\pi}} e^{i\omega x_j} \hat{v}^n(\omega)$ ：代入格式得：

$$\hat{v}^{n+1}(\omega) = \hat{Q} \hat{v}^n(\omega) = \hat{Q}^n \hat{v}^0(\omega), \quad \text{其中} \quad \hat{Q} = \sum_{\mu=-r}^s A_\mu e^{i\mu\xi}$$

假设 $f(x)$ 可展开Fourier级数，即：

$$f(x) = \frac{1}{\sqrt{2\pi}} \sum_{\omega=-\infty}^{\infty} e^{i\omega x} \hat{f}(\omega), \quad \text{且} \quad \sum_{\omega} |\hat{f}(\omega)|^2 < \infty .$$

构造 f 的格点函数的三角插值： $\phi(x) = \frac{1}{\sqrt{2\pi}} \sum_{\omega=-M}^M e^{i\omega x} \tilde{f}(\omega)$ ，

若 f 是分片连续函数，则有： $\lim_{N \rightarrow \infty} \|\phi(x) - f(x)\| = 0$

Theorem 1.1 在有限时间区域 $0 \leq t \leq T$ ，考虑 $\Delta t, h \rightarrow 0$ 时，差分近似： $v_j^{n+1} = Qv_j^n$ ， $Q = \sum_{\mu=-r}^s A_\mu(\Delta t, h)E^\mu$ ， $v_j^0 = f_j$ ，假设：

(a) 初值 f 是（分片连续）可展开为 *Fourier* 级数（ $\in L_2$ ），且其三角插值收敛于 f

(b) 差分近似是稳定的，即存在常数 K_s ，使得对所有的 Δt 和 h 有：

$$\sup_{0 \leq t_n \leq T} |\hat{Q}^n| \leq K_s$$

(c) 差分近似是相容的，即对每个固定的 ω ，有：

$$\lim_{\Delta t, h \rightarrow 0} \sup_{0 \leq t_n \leq T} |\hat{Q}^n(\xi) - e^{i\omega t_n}| = 0$$

则：差分近似解的三角插值收敛于微分方程的解，即：

$$\lim_{\Delta t, h \rightarrow 0} \sup_{0 \leq t_n \leq T} \|u(\cdot, t_n) - \psi_N(\cdot)\| = 0$$

其中 $u(\cdot, t_n) = \frac{1}{\sqrt{2\pi}} \sum_{-\infty}^{\infty} e^{i\omega(x_j+t_n)} \hat{u}^n(\omega) = \frac{1}{\sqrt{2\pi}} \sum_{-\infty}^{\infty} e^{i\omega x_j} \hat{f}(\omega)$

，差分近似解的三角插值为：

$$\psi_N = \frac{1}{\sqrt{2\pi}} \sum_{-\frac{N}{2}}^{\frac{N}{2}} e^{i\omega x_j} \hat{v}^n(\omega) = \frac{1}{\sqrt{2\pi}} \sum_{-\frac{N}{2}}^{\frac{N}{2}} e^{i\omega x_j} \hat{Q}^n \hat{f}(\omega)。$$

证明：

假设问题的初值是分片光滑的，则Parseval关系成立：

$$\sum_{\omega=-\infty}^{\infty} |\hat{f}(\omega)|^2 = \|f\|^2$$

取 M ，使得 $0 < M < \frac{N}{2}$ ，则：

$$\begin{aligned} \|u(\cdot, t_n) - \psi_N(\cdot)\|^2 &= \sum_{\omega=-\frac{N}{2}}^{\frac{N}{2}} |e^{i\omega t_n} \hat{f}(\omega) - \hat{Q}^n \hat{f}(\omega)|^2 + \sum_{|\omega| > \frac{N}{2}} |\hat{f}(\omega)|^2 \\ &\leq \sum_{\omega=-M}^M |e^{i\omega t_n} \hat{f}(\omega) - \hat{Q}^n \hat{f}(\omega)|^2 + \sum_{M < |\omega| \leq \frac{N}{2}} |e^{i\omega t_n} \hat{f}(\omega) - \hat{Q}^n \hat{f}(\omega)|^2 \\ &\quad + \sum_{|\omega| > \frac{N}{2}} |\hat{f}(\omega)|^2 \end{aligned}$$

$$(|a - b|^2 \leq |a|^2 + |b|^2 + 2|a| \cdot |b| \leq 2(|a|^2 + |b|^2))$$

$$\leq I + 2 \sum_{M < |\omega| \leq \frac{N}{2}} |\hat{Q}^n \tilde{f}(\omega)|^2 + 2 \sum_{M < |\omega| \leq \frac{N}{2}} |\hat{f}|^2 + \sum_{|\omega| > \frac{N}{2}} |\hat{f}(\omega)|^2$$

$$\sum_{M < |\omega| \leq \frac{N}{2}} + \sum_{|\omega| > \frac{N}{2}} = \sum_{|\omega| > M}$$

$$= I + 2 \sum_{M < |\omega| \leq \frac{N}{2}} |\hat{Q}^n \tilde{f}(\omega)|^2 + \sum_{M < |\omega| \leq \frac{N}{2}} |\hat{f}|^2 + \sum_{|\omega| > M} |\hat{f}(\omega)|^2$$

$$\leq I + 2(\sum_{M < |\omega| \leq \frac{N}{2}} + \sum_{|\omega| > \frac{N}{2}}) |\hat{Q}^n \tilde{f}(\omega)|^2 + (\sum_{M < |\omega| \leq \frac{N}{2}} + \sum_{|\omega| > \frac{N}{2}}) |\hat{f}|^2 + \sum_{|\omega| > M} |\hat{f}(\omega)|^2$$

$$= I + 2 \sum_{M < |\omega|} |\hat{Q}^n \tilde{f}(\omega)|^2 + 2 \sum_{M < |\omega|} |\hat{f}|^2 = I + II + III$$

$$\begin{aligned} I &= \sum_{\omega=-M}^M |e^{i\omega t_n} \hat{f}(\omega) - \hat{Q}^n \tilde{f}(\omega) + \hat{Q}^n \hat{f}(\omega) - \hat{Q}^n \hat{f}(\omega)|^2 \\ &\leq 2 \sum_{\omega=-M}^M (|\hat{Q}^n(\tilde{f} - \hat{f})|^2 + |\hat{f}|^2 |\hat{Q}^n - e^{i\omega t_n}|^2) \end{aligned}$$

(由假设 (a) 和 (c) 可得:)

$$\begin{aligned} \lim_{M \rightarrow \infty} I &\leq 2 \lim_{M \rightarrow \infty} \sum_{\omega=-M}^M (|\hat{Q}^n(\tilde{f} - \hat{f})|^2 + |\hat{f}|^2 |\hat{Q}^n - e^{i\omega t_n}|^2) \\ &= 2 \lim_{M \rightarrow \infty} \sum_{\omega=-M}^M |\hat{Q}^n(\tilde{f} - \hat{f})|^2 + 2 \lim_{M \rightarrow \infty} \sum_{\omega=-M}^M |\hat{f}|^2 |\hat{Q}^n - e^{i\omega t_n}|^2 = 0 \end{aligned}$$

(由假设 (a) 可得:)

$$\lim_{M \rightarrow \infty} II = 2 \lim_{M \rightarrow \infty} \sum_{M < |\omega|} |\hat{f}|^2 = 0$$

(由假设 (b) 可得:)

$$\lim_{M \rightarrow \infty} III = 2 \lim_{M \rightarrow \infty} \sum_{M < |\omega|} |\hat{Q}^n|^2 \cdot |\tilde{f}(\omega) - \hat{f} + \hat{f}|^2$$

$$\begin{aligned}
&\leq 4K_s^2 \lim_{M \rightarrow \infty} \sum_{M < |\omega|} (|\tilde{f} - \hat{f}|^2 + |\hat{f}|^2) \\
&= 4K_s^2 (\lim_{M \rightarrow \infty} \sum_{M < |\omega|} |\tilde{f} - \hat{f}|^2 + \lim_{M \rightarrow \infty} II) \\
&= 0。 \text{証毕}
\end{aligned}$$

作业：P50：2.1.1–2.1.3

大作业2

2、针对下述偏微分方程初值问题：

$$\begin{cases} u_t = u_x, & -\infty < x < \infty, t > 0, \\ u(x, 0) = \sin(2\pi x), & -\infty < x < \infty, \\ \text{Periodic boundary condition, } T = 1. \end{cases}$$

该方程的精确解为 $u(x, t) = \sin(2\pi(x + t))$ 。

对时空区域做均匀剖分，其中 $x_j = j \cdot h$, $j = 0, 1, 2, \dots, J$, 时间步长 $h = \frac{1}{J}$ 。令 $\lambda = \frac{\Delta t}{h}$ 。

问题2.1： 取 $\lambda = 0.5$, $J = 80$, 分别取 $T = 0.1, 0.4, 0.8, 1.0$ 。分别用FTCS、Lax-Friedrich和Lax-Wendroff方法计算其数值解。绘出最大误差随时间变化图；并给出评论。

问题2.2： 取 $\lambda = 0.5$, $T = 1.0$, 分别取 $J = 10, 20, 40, 80, 160$ 。

用Lax-Wendroff方法计算其数值解，并与精确解画在同一图上进行比较，给出评论。

1.3 对流方程的初值问题的有限差分格式—多层格式**一、常系数对流方程的初值问题的常见的有限差分格式：**

考虑常系数的对流方程的初值问题：

$$\begin{cases} u_t = u_x & -\infty < x < \infty, t > 0 \\ u(x, 0) = f(x) & -\infty < x < \infty \end{cases}$$

其中 $f(x)$ 是 2π 周期的周期函数。

1. 显示格式：由已知层的函数值直接得到未知层的函数值

如前面介绍的FTCS格式： $v_j^{n+1} = v_j^n + \frac{\Delta t}{2h}(v_{j+1}^n - v_{j-1}^n)$

由初值 $v_j^0 = f_j = f(x_j)$, $j = 0, \dots, J$ 和上式可直接得

到： v_j^n , $n = 1, \dots, N$ 。 \Rightarrow ：FTCS格式是显示格式。其它

如：Lax-Fridrich 格式、Lax-Wendroff格式、FTFS格

式、FTBS格式, ...

2. 隐式格式：不能由已知层的函数值直接得到未知层的函数值

如BTCS格式、BTFS格式、BTBS格式、...。BTCS格

式： $v_j^{n+1} = v_j^n + \frac{\Delta t}{2h}(v_{j+1}^{n+1} - v_{j-1}^{n+1})$ 。无法用这个格式和初

值 $v_j^0 = f_j = f(x_j)$, $j = 0, \dots, J$ 直接得

到： v_j^n , $n = 1, \dots, N$ 。需要解方程组才能得到。

3. 单步格式（二层格式）：格式只涉及二个时间层

如：FTCS格式、BTCS格式、...。

4. 多步格式（三层、及三层以上格式）格式：涉及三个，或三

个以上时间层

如：CTCS格式： $v_j^{n+1} = v_j^{n-1} + \frac{\Delta t}{h}(v_{j+1}^n - v_{j-1}^n)$

二、蛙跳格式（即：CTCS格式）

$$\begin{cases} v_j^{n+1} = v_j^{n-1} + \frac{\Delta t}{h}(v_{j+1}^n - v_{j-1}^n) \\ v_j^0 = f_j = f(x_j) \end{cases}。$$

1.3 对流方程的初值问题的有限差分格式—多层格式 1 模型方程—对流方程

这儿 v_j^1 需要通过其它单步格式得到, 如FTCS格式,

$$\text{即: } v_j^1 = v_j^0 + \frac{\Delta t}{2h}(v_{j+1}^0 - v_{j-1}^0), \quad v_j^0 = f_j。$$

讨论谐波解, 即: $v_j^n = \frac{1}{\sqrt{2\pi}} e^{i\omega x_j} \hat{v}^n(\omega)$, 代入格式, 得:

$$\hat{v}^{n+1}(\omega) = \hat{v}^{n-1}(\omega) + 2i\lambda(\sin\xi)\hat{v}^n(\omega)$$

令 $\hat{v}^n(\omega) = z^n$, z 为复数, 代入上式得到特征方程:

$$z = z^{-1} + 2i\lambda(\sin\xi), \quad \text{即: } z^2 - 2i\lambda(\sin\xi)z - 1 = 0$$

对于 $0 < \lambda < 1$, 有二个不同的

$$\text{解: } z_{1,2} = i\lambda(\sin\xi) + \sqrt{1 - \lambda^2 \sin^2(\xi)}, \quad \text{且 } |z_{1,2}| = 1。$$

则特征方程的一般解为: $\hat{v}^n = \sigma_1 z_1^n + \sigma_2 z_2^n$; 其中参

数 $\sigma_{1,2}$ 由 v_j^0 和 v_j^1 确定。即:

$$\begin{cases} \hat{v}^0(\omega) = \hat{f}(\omega) \\ \hat{v}^1(\omega) = (1 + i\lambda\sin\xi)\hat{f}(\omega) \end{cases}, \quad \Rightarrow: \begin{cases} \sigma_1 + \sigma_2 = \hat{f} \\ \sigma_1 z_1 + \sigma_2 z_2 = (1 + i\lambda\sin\xi)\hat{f}(\omega) \end{cases}$$

对于低频问题: $|\xi| = |\omega h| \ll 1$, 若 λ 为常数, 则有:

$$\begin{cases} z_1 = 1 + i\omega\Delta t - \frac{1}{2}\omega^2\Delta t^2 + O(\omega^3\Delta t^3) = e^{i\omega\Delta t(1+O(\omega^2\Delta t^2))} \\ z_2 = -1 + i\omega\Delta t + \frac{1}{2}\omega^2\Delta t^2 + O(\omega^3\Delta t^3) = -e^{-i\omega\Delta t(1+O(\omega^2\Delta t^2))} \end{cases}$$

$$\Rightarrow: \sigma_1 = \hat{f}(1 + O(\omega^2\Delta t^2)), \quad \sigma_2 = \hat{f}O(\omega^2\Delta t^2)$$

$$\begin{aligned} \Rightarrow: \hat{v}^n(\omega) &= \hat{f}(\omega)(1 + O(\omega^2\Delta t^2))e^{i\omega t_n(1+O(\omega^2\Delta t^2))} \\ &\quad + \hat{f}(\omega)O(\omega^2\Delta t^2)(-1)^n e^{-i\omega t_n(1+O(\omega^2\Delta t^2))} \end{aligned}$$

由此可见: 解含有二部分; 一是相应于准确

解 $\hat{u}^n(\omega) = \hat{f}(\omega)e^{i\omega t_n}$ 的近似, 即:

$$\begin{aligned} &\hat{f}(\omega)(1 + O(\omega^2\Delta t^2))e^{i\omega t_n(1+O(\omega^2\Delta t^2))} \\ &= \hat{f}e^{i\omega t_n(1+O(\omega^2\Delta t^2))} + O(\omega^2\Delta t^2)\hat{f}e^{i\omega t_n(1+O(\omega^2\Delta t^2))} \\ &= (1 + O(t_n\omega^3\Delta t^2))\hat{f}e^{i\omega t_n} + O(\omega^2\Delta t^2)\hat{f}e^{i\omega t_n(1+O(\omega^2\Delta t^2))}, \end{aligned}$$

$$\Rightarrow: \text{误差为: } O(t_n\omega^3\Delta t^2)。$$

1.3 对流方程的初值问题的有限差分格式—多层格式 1 模型方程—对流方程

另一部分引起快速振荡，且与PDE无关，常称为“寄生”

(parasitic) 解。幸运的是：当 $\omega^2 \Delta t^2 \ll 1$ 时，振荡的振幅也很小，且不随时间增加。

此外，由于蛙跳格式是三层格式，所以上节的定理 适用。

对于分片光滑的初值，利用前面得到的 $\hat{v}(\omega)$ 公式，以及三角插值

证明：蛙跳格式对PDE解的收敛性。其收敛条件为：初值光滑以及稳定性条件： $\Delta t, h \rightarrow 0$ 时， $\lambda = \frac{\Delta t}{h} < 1 - \delta$ ， $\delta > 0$ 。 (作业)

解：
1. 收敛 $\rightarrow f$
2. 稳定
3. 相容

三、带源项的PDE初值问题 $\begin{cases} u_t = u_x - au & -\infty < x < \infty, t > 0 \\ u(x, 0) = f(x) & -\infty < x < \infty \end{cases}$ 的

蛙跳格式

这儿 $a > 0$ ，且为常数。

该初值问题的谐波解为： $u(x, t) = \frac{1}{\sqrt{2\pi}} e^{i\omega(x+t)} e^{-at} \hat{f}(\omega)$ 。该解随着时间的增长，振幅呈指数衰减。

该初值问题的蛙跳格式

为： $v_j^{n+1} = v_j^{n-1} + \frac{\Delta t}{h} (v_{j+1}^n - v_{j-1}^n) - 2\Delta t a v_j^n$

讨论该格式的谐波解：，即： $v_j^n = \frac{1}{\sqrt{2\pi}} e^{i\omega x_j} \hat{v}^n(\omega)$ ，代入格式，得：

$$\hat{v}^{n+1}(\omega) = \hat{v}^{n-1}(\omega) + 2(i\lambda \sin \xi - \Delta t a) \hat{v}^n(\omega)$$

令 $\hat{v}^n = z^n$ ，代入上述方程得到其特征方

程： $z^2 - 2(i\lambda \sin \xi - \Delta t a)z - 1 = 0$ 。特征方程的解为：

$$z_{1,2} = i\lambda(\sin \xi) - a\Delta t \pm \sqrt{1 + (i\lambda^2 \sin^2(\xi) - a\Delta t)^2}$$

$$\Rightarrow : \hat{v}^n(\omega) = \sigma_{11} z_1^n + \sigma_{22} z_2^n$$

$$\Rightarrow : v_j^n = \frac{1}{\sqrt{2\pi}} e^{i\omega x_j} (\sigma_{11} z_1^n + \sigma_{22} z_2^n) = e^{i\omega x_j} (\sigma_1 z^n + \sigma_2 z^n)$$

1.3 对流方程的初值问题的有限差分格式—多层格式 1 模型方程—对流方程
讨论特殊情况，即： $\omega = 0$ ， $a\Delta t \ll 1$ 情况。

$$\begin{aligned} z_1 &= -a\Delta t + \sqrt{1 + (a\Delta t)^2} = 1 - a\Delta t + \frac{1}{2}a^2\Delta t^2 + O(a^3\Delta t^3) = e^{-a\Delta t + O(a^3\Delta t^3)} \\ z_2 &= -a\Delta t - \sqrt{1 + (a\Delta t)^2} = -1 - a\Delta t - \frac{1}{2}a^2\Delta t^2 + O(a^3\Delta t^3) = -e^{-a\Delta t + O(a^3\Delta t^3)} \\ \Rightarrow: v_j^n(0) &= \hat{f}(0)(1 + O(a^2\Delta t^2))e^{-at_n(1 + O(a^2\Delta t^2))} \\ &\quad + \hat{f}(0)O(a^2\Delta t^2)(-1)^n e^{at_n(1 + O(a^2\Delta t^2))}。 \end{aligned}$$

上式后面部分为寄生解。该寄生解得振幅随时间 t_n 呈指数增长。 \Rightarrow ：解不可靠； \Rightarrow ：本问题的CTCS格式无效。

修正：将格式中的 v_j^n 改为 $\frac{1}{2}(v_j^{n+1} + v_j^{n-1})$ ，得到新的格式：

$$v_j^{n+1} = v_j^{n-1} + \frac{\Delta t}{h}(v_{j+1}^n - v_{j-1}^n) - 2\Delta t a v_j^n$$

$$(1 + a\Delta t)v_j^{n+1} = (1 - a\Delta t)v_j^{n-1} + \frac{\Delta t}{h}(v_{j+1}^n - v_{j-1}^n)$$

\Rightarrow ：特征方程： $(1 + a\Delta t)z^2 = (1 - a\Delta t) - (2i\lambda \sin \xi)z$

\Rightarrow ：特征方程的解： $z_{1,2} = \frac{i\lambda \sin \xi}{1 + a\Delta t} \pm \sqrt{\frac{1 - \lambda^2 \sin^2 \xi - a^2 \Delta t^2}{(1 + a\Delta t)^2}}$

当 $\lambda^2 + a^2 \Delta t^2 < 1$ 时， $|z_{1,2}| = \frac{\sqrt{1 - a^2 \Delta t^2}}{1 + a\Delta t} \approx e^{-a\Delta t}$

\Rightarrow ： $z_{1,2}$ 的振幅随时间 t_n 呈指数衰减，且衰减速度与PDE解的衰减速度相同

作业：P55：2.2.1–2.2.2

大作业3

3、针对下述偏微分方程初值问题：

$$\begin{cases} u_t = u_x, & -\infty < x < \infty, t > 0, \\ u(x, 0) = \sin(2\pi x), & -\infty < x < \infty, \\ \text{Periodic boundary condition, } T = 1. \end{cases} \quad (1)$$

该方程的精确解为 $u(x, t) = \sin(2\pi(x + t))$ 。对时空区域做均匀剖分，

其中 $x_j = j \cdot h$ ， $j = 0, 1, 2, \dots, J$ ，时间步长 $h = \frac{1}{J}$ 。令 $\lambda = \frac{\Delta t}{h}$ 。

1.3 对流方程的初值问题的有限差分格式—多层格式 1 模型方程—对流方程

问题3.1: 取 $T = 1.0$, $J = 80$, 分别取 $\lambda = 0.5, 1.5$ 。用CTCS格式

(v_j^1 用FTFS格式) 计算其数值解, 并与精确解画在同一图上进行比较, 给出评论。

问题3.2: 取 $\lambda = 0.5$, $T = 1.0$, 分别取 $J = 10, 20, 40, 80, 160$ 。

用CTCS格式 (v_j^1 用FTFS格式) 计算其数值解, 并与精确解画在同一图上进行比较, 给出评论。

问题3.3: 取 $\lambda = 0.5$, $J = 80$, 分别取 $T = 0.2, 0.5$ 。用FTBS格式计算其数值解, 并与精确解画在同一图上进行比较, 给出评论。

1.4 迎风格式与CFL条件

考虑常系数的对流方程的初值问题：

$$\begin{cases} u_t = u_x & -\infty < x < \infty, t > 0 \\ u(x, 0) = f(x) & -\infty < x < \infty \end{cases}; \text{ 其解为 } u(x, t) = f(x+t)。$$

一、 $u_t = u_x$ 的FTBS格式

$$\begin{cases} v_j^{n+1} = v_j^n + \frac{\Delta t}{h}(v_j^n - v_{j-1}^n) = (I + \Delta t D_-)v_j^n \equiv Qv_j^n \\ v_j^0 = f_j = f(x_j), \quad j = 0, \dots, J \end{cases}$$

取一个谐波解，即： $v_j^n = \frac{1}{\sqrt{2\pi}} e^{i\omega x_j} \hat{v}^n(\omega)$ ，

代入差分方程得放大因子： $\hat{Q} = 1 + \lambda(1 - e^{i\xi h})$ ， $\xi = \omega h$

$$\begin{aligned} \Rightarrow: |\hat{Q}|^2 &= (1 + \lambda(1 - \cos\xi))^2 + (\lambda \sin\xi)^2 = \\ &= (1 + 2\lambda \sin^2 \frac{\xi}{2})^2 + (\lambda \sin\xi)^2 > 1 \end{aligned}$$

\Rightarrow ：该格式无法满足稳定性要求；即：该方法是不稳定的

$u_t = u_x$ 的FTBS格式不稳定的原因何在？如何构造稳定的格式？

二、 常系数对流方程初值问题的解的依赖区

沿直线 $x + t = \text{constant}$ 解不变。该直线称为特征线。在任意

点 $P = (x, t)$ 处的解，由过该点的特征线与 $t = 0$ 的交

点 $P_0 = (x_0, 0)$ 点的值 $u|_{P_0}$ 确定，即： $u|_P = u|_{P_0}$ 。

$D_P = \{P_0\}$ 称为 P 点的解的依赖区。若取 $P = (x_j, t_{n+1})$ ，

则 $x_0 = x_j + t_{n+1}$ 。

三、 常系数对流方程的初值问题的有限差分格式的数值解的依赖区：

常系数对流方程初值问题的FTCS格

式： $v_j^{n+1} = v_j^n + \frac{\Delta t}{2h}(v_{j+1}^n - v_{j-1}^n)$ 。

v_j^{n+1} 依赖于： $v_{j-1}^n, v_j^n, v_{j+1}^n$ ； \Rightarrow ： $v_{j-2}^{n-1}, v_{j-1}^{n-1}, v_j^{n-1}, v_{j+1}^{n-1}, v_{j+2}^{n-1}$ ；

\Rightarrow ： \dots ； \Rightarrow ： $v_{j-n-1}^0, v_{j-n}^0, \dots, v_j^0, \dots, v_{j+n}^0, v_{j+n+1}^0$

在 $P = (x_j, t_{n+1})$ 点的近似解 v_j^{n+1} 依赖于初始时刻的点：

$x_{j-n-1}, x_{j-n}, \dots, x_j, \dots, x_{j+n}, x_{j+n+1}$ 的近似解。

则称 $N_P = \{x_{j-n-1}, x_{j-n}, \dots, x_j, \dots, x_{j+n}, x_{j+n+1}\}$ 为 P 点数值解的依赖区；

四、 CFL条件

CFL条件：PDE解的依赖区 D_P 必须被包含在数值解的依赖

区 N_P ： $D_P \subseteq N_P$

Theorem 1.2 CFL条件是有限差分格式收敛的必要条件

对于FTCS格式，若满足CFL条件，则要求满

足： $x_{j-n-1} \leq x_{P_0} \leq x_{j+n+1}$

\Rightarrow ： $(j-n-1)h \leq jh + (n+1)\Delta t \leq (j+n+1)h$ ，

\Rightarrow ： $-1 \leq \frac{\Delta t}{h} \leq 1$ 这是FTCS格式收敛的必要条件。

CFL条件适合于变系数情形，甚至是非线性双曲问题；它是这些格式收敛的必要条件！

五、 迎风格式

迎风格式：特征线方向与模板方向一致的格式；逆风格式：特征线方向与模板方向不一致的格式

Example 1.2 讨论 $u_t + au_x = 0$ ， a 是常数， 的迎风格式

FTFS格式的格式： $v_j^{n+1} = v_j^n + \frac{\Delta t}{h}(v_{j+1}^n - v_j^n)$ 。

v_j^{n+1} 依赖于： v_j^n, v_{j+1}^n ； \Rightarrow ： $v_j^{n-1}, v_{j+1}^{n-1}, v_{j+2}^{n-1}$ ； \Rightarrow ： \dots ；

\Rightarrow ： $v_j^0, \dots, v_{j+n}^0, v_{j+n+1}^0$

则数值解的依赖区为： $N_P = \{x_j, \dots, x_{j+n}, x_{j+n+1}\}$

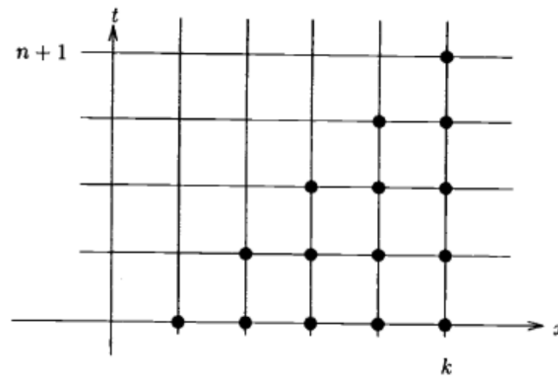


FIGURE 5.7.2. Numerical domain of dependence of point $(k\Delta x, (n+1)\Delta t)$ for difference scheme (5.7.3) where $R = 1\Delta t/\Delta x$.

特征线为: $x - at = \text{constant}$

\Rightarrow : 当 $a < 0$ 时, *FTFS* 格式为迎风格式; 当 $a > 0$ 时, *FTFS* 格式为逆风格式。

$P = (x_j, t_{n+1})$ 点 *PDE* 的精确解的依赖区

为: $D_P = \{x_{P_0}\}$, $x_{P_0} = x_j - at_{n+1}$ 。

CFL 条件: $x_j \leq x_{P_0} \leq x_{j+n+1}$,

\Rightarrow : $jh \leq jh - a(n+1)\Delta t \leq (j+n+1)h$, \Rightarrow : $-1 \leq \frac{a\Delta t}{h} \leq 0$

\Rightarrow : 当 $a < 0$ 时, *FTFS* 格式为迎风格式, 格式可能收敛;

当 $a > 0$ 时, *FTFS* 格式为逆风格式, 格式不收敛。

对于 *FTBS* 格式做类似的分析可得: 当 $a < 0$ 时, *FTBS* 格式为逆风格式; 当 $a > 0$ 时, *FTBS* 格式为迎风格式。

\Rightarrow : $u_t + au_x = 0$ 的迎风格式:

$$v_j^{n+1} = \begin{cases} v_j^n - \frac{a\Delta t}{h}(v_{j+1}^n - v_j^n), & a < 0 \\ v_j^n - \frac{a\Delta t}{h}(v_j^n - v_{j-1}^n), & a > 0 \end{cases}$$

作业: 针对方程 $u_t + u_x = 0$, 导出其解的依赖区; 其蛙跳格式的数值解的依赖区; 以及 *CFL* 条件

1.5 隐式格式

一、BTCS格式

讨论 $\begin{cases} u_t = u_x & -\infty < x < \infty, t > 0 \\ u(x, 0) = f(x) & -\infty < x < \infty \end{cases}$ 的BTCS格式；其中该问题的初值、解均为 2π 周期的周期函数。

$$\text{BTCS格式: } \begin{cases} v_j^{n+1} = v_j^n + \frac{\Delta t}{2h}(v_{j+1}^{n+1} - v_{j-1}^{n+1}) \\ v_j^0 = f(x_j), \quad j = 0, 1, \dots, J \\ Jv_j^n = v_{j+J+1}^n \end{cases}$$

$$\text{即: } \frac{\Delta t}{2h}v_{j-1}^{n+1} + v_j^{n+1} - \frac{\Delta t}{2h}v_{j+1}^{n+1} = v_j^n; \quad v_0^n = v_{J+1}^n; \quad v_{-1}^n = v_J^n。$$

$$\text{令 } V^n = (v_0^n, \dots, v_J^n)^T, \Rightarrow: AV^{n+1} = V^n,$$

其中

$$A = \begin{pmatrix} 1 & -\frac{\Delta t}{2h} & 0 & \dots & 0 & 0 & \frac{\Delta t}{2h} \\ \frac{\Delta t}{2h} & 1 & -\frac{\Delta t}{2h} & \dots & 0 & 0 & 0 \\ 0 & \frac{\Delta t}{2h} & 1 & \dots & 0 & 0 & 0 \\ \dots & \dots & \dots & \dots & \dots & \dots & \dots \\ 0 & 0 & 0 & \dots & 1 & -\frac{\Delta t}{2h} & 0 \\ 0 & 0 & 0 & \dots & \frac{\Delta t}{2h} & 1 & -\frac{\Delta t}{2h} \end{pmatrix}_{(J+1) \times (J+1)}$$

\Rightarrow 要得到问题的解，则需要每个时间步求解一个 $J+1$ 阶线性代数方程组。

稳定性条件：

讨论简单波解：假设 $v_j^n = \frac{1}{\sqrt{2\pi}} e^{i\omega x_j} \hat{v}^n(\omega)$ ，代入格式，得：

$$(1 - i\lambda \sin \xi) \hat{v}^{n+1}(\omega) = \hat{v}^n(\omega), \Rightarrow: \text{放大因}$$

子： $\hat{Q} = \frac{1}{1 - i\lambda \sin \xi}$ ， $\Rightarrow: |\hat{Q}| \leq 1$ 。且除 $\xi = 0, \pi$ ，即： $\omega = 0, \frac{\pi}{h}$ 以

外， $|\hat{Q}| < 1$ ，即：解都是衰减的； $\omega = 0, \frac{\pi}{h}$ 时， $|\hat{Q}| = 1$ ，即：

振幅不变。

⇒：该格式是无条件稳定的——这是一个典型的隐式格式；对时间步长没有约束，可以选择较大的时间步长。大多数全隐式格式都是无条件稳定的

二、Crank-Nicolson格式

$$u_t = u_x = \frac{1}{2}u_x + \frac{1}{2}u_x,$$

$$(I - \frac{\Delta t}{2}D_0)v_j^{n+1} = (I + \frac{\Delta t}{2}D_0)v_j^n, \quad j = 0, \dots, J$$

$$\Rightarrow: \text{放大因子: } \hat{Q} = \frac{2+i\lambda\sin\xi}{2-i\lambda\sin\xi}, \quad \Rightarrow: |\hat{Q}| = 1.$$

⇒：该格式是无条件稳定的，且对所有的 ω （频率），振幅不变。

三、 θ -方法

$$u_t = u_x = \theta u_x + (1 - \theta)u_x,$$

$$(I - \Delta t\theta D_0)v_j^{n+1} = (I + \Delta t(1 - \theta)D_0)v_j^n, \quad j = 0, \dots, J, \quad \text{其中 } 0 \leq \theta \leq 1.$$

$$\Rightarrow: \text{放大因子: } \hat{Q} = \frac{1+i(1-\theta)\lambda\sin\xi}{1-i(1-\theta)\lambda\sin\xi}.$$

⇒： $\theta \geq \frac{1}{2}$ 时，该格式是无条件稳定的。通常取： $\frac{1}{2} \leq \theta \leq 1$ 。

作业：P58, 2.3.1

1.6 误差

预备知识——Taylor展开定理：

$$f(x \pm h) = f(x) \pm hf'(x) + \frac{h^2}{2!}f''(x) + \cdots + \frac{(-h)^k}{k!}f^{(k)}(x) + \frac{(-h)^{k+1}}{(k+1)!}f^{(k+1)}(\xi)$$

，其中： ξ 介于 x 与 $x+h$ 之间。

一、截断误差

Definition 1.2 截断误差：

与差分方程等价的PDE与源PDE的差。即：差分方程中近似解 v_j^n 用精确解 u_j^n 代替后得到的与差分方程等价的PDE与源PDE的差。

\Rightarrow ：截断误差是数值方法精度的度量。

Example 1.3 讨论 $u_t = u_x$ 的FTCS格式的截断误差

FTCS格式： $v_j^{n+1} = v_j^n + \frac{\Delta t}{2h}(v_{j+1}^n - v_{j-1}^n)$ 。根据定义其截断误差 $T(x, t)$ 为：

$$\begin{aligned} T(x_j, t_n) &= T_j^n = \frac{u_j^{n+1} - u_j^n}{\Delta t} - \frac{u_{j+1}^n - u_{j-1}^n}{2h} - (u_t - u_x)|_{x_j}^{t_n} \\ &= \frac{u(x_j, t_n + \Delta t) - u(x_j, t_n)}{\Delta t} - \frac{u(x_j + h, t_n) - u(x_j - h, t_n)}{2h} - (u_t - u_x)|_{x_j}^{t_n} \end{aligned}$$

将上式在 (x_j, t_n) 处（简写为 (j, n) ）做Taylor展开，得：

$$\begin{aligned} T_j^n &= \frac{\Delta t u_t|_j^n + \frac{1}{2}\Delta t^2 u_{tt}|_j^{\xi_t}}{\Delta t} - \frac{2hu_x|_j^n + 2\frac{h^3}{3!}u_{xxx}|_{\xi_x}^n}{2h} - (u_t - u_x)|_j^n \\ &= \frac{1}{2}\Delta t u_{tt}(x_j, \xi_t) - \frac{1}{12}h^2 u_{xxx}(\xi_x, t) ; \end{aligned}$$

其中 $\xi_t \in (t_n, t_{n+1})$ ， $\xi_x \in (x_{j-1}, x_{j+1})$ 。若取 M_{tt} 为 u_{tt} 的上界， M_{xxx} 为 u_{xxx} 的上界，则有：

$$|T| \leq \frac{1}{2}\Delta t M_{tt} + \frac{1}{12}h^2 M_{xxx}$$

二、格式（方法）的精度

Definition 1.3 数值格式的精度:

若数值格式的截断误差为: $T = O(h^p + \Delta t^q)$, 则称该数值格式是 (p, q) 阶精度的; 即: 该格式对空间是 p 阶精度, 对时间是 q 阶精度。

\Rightarrow : FTCS格式是 $(2, 1)$ 阶精度; 即: 该格式对空间是 2 阶精度, 对时间是 1 阶精度

Example 1.4 讨论 $u_t = u_x$ 的 FTCS 格式的一个修正格式的精度

FTCS 格式的一个修正格式:

$$v_j^{n+1} = v_j^n + \frac{\Delta t}{2h}(v_{j+1}^n - v_{j-1}^n) + \sigma \frac{\Delta t}{h}(v_{j+1}^n - 2v_j^n + v_{j-1}^n)$$

。根据定义其截断误差 $T(x, t)$ 为:

$$\begin{aligned} T_j^n &= \frac{u_j^{n+1} - u_j^n}{\Delta t} - \frac{u_{j+1}^n - u_{j-1}^n}{2h} - \frac{\sigma \Delta t (u_{j+1}^n - 2u_j^n + u_{j-1}^n)}{h} - (u_t - u_x)|_{x_j}^{t_n} \\ &= \frac{\Delta t u_t|_j^n + \frac{1}{2} \Delta t^2 u_{tt}|_j^{\xi t}}{\Delta t} - \frac{2hu_x|_j^n + 2\frac{h^3}{3!} u_{xxx}|_{\xi x}^n}{2h} - (u_t - u_x)|_j^n \\ &= \frac{1}{2} \Delta t u_{tt}(x_j, t_n) - \sigma h u_{xx}(x_j, t_n) + O(h^2 + \Delta t^2); \end{aligned}$$

\Rightarrow : 一般情况下: 即 $\sigma \neq \frac{\Delta t}{2h}$, 上述格式是 $(1, 1)$ 阶精度的。

由于: $u_t = u_x$, \Rightarrow : $u_{tt} = (u_x)_t = (u_t)_x = u_{xx}$,

\Rightarrow : 当 $\sigma = \frac{\Delta t}{2h}$ 时, \Rightarrow : $T = O(h^2 + \Delta t^2)$, 即格式是 $(2, 2)$ 阶精度的

$$\begin{aligned} \text{BTCS 格式的截断误差: } T_j^{n+1} &= \frac{u_j^{n+1} - u_j^n}{\Delta t} - \frac{u_{j+1}^{n+1} - u_{j-1}^{n+1}}{2h} - (u_t - u_x)|_{x_j}^{t_{n+1}} \\ &= \frac{u(x_j, t_n + \Delta t) - u(x_j, t_n)}{\Delta t} - \frac{u(x_{j+h}, t_{n+1}) - u(x_{j-h}, t_{n+1})}{2h} - (u_t - u_x)|_{x_j}^{t_{n+1}} \\ &= \frac{1}{2} \Delta t u_{tt}|_{x_j}^{\eta} - \frac{1}{3!} h^2 u_{xxx}|_{\xi}^{t_{n+1}} = O(h^2 + \Delta t^1) \end{aligned}$$

\Rightarrow : BTCS 格式是 $(1, 2)$ 阶精度

三、整体误差

整体误差: 数值解与精确解之间的差, 即: $e_j^n = v_j^n - u_j^n$

Example 1.5 讨论 $u_t = u_x$ 的FTFS格式的整体误差

FTFS格式的格式： $v_j^{n+1} = v_j^n + \frac{\Delta t}{h}(v_{j+1}^n - v_j^n)$ 。

根据截断误差的定义有： $T_j^n = \frac{u_j^{n+1} - u_j^n}{\Delta t} - \frac{u_{j+1}^n - u_j^n}{h}$ ；

$$\Rightarrow : u_j^{n+1} = u_j^n + \frac{\Delta t}{h}(u_{j+1}^n - u_j^n) + \Delta t T_j^n ;$$

$$\Rightarrow : e_j^{n+1} = e_j^n + \frac{\Delta t}{h}(e_{j+1}^n - e_j^n) - \Delta t T_j^n = (1 - \lambda)e_j^n + \lambda e_{j+1}^n - \Delta t T_j^n ;$$

其中 $\lambda = \frac{\Delta t}{h}$ 。

令 $E^n = \max_j \{|e_j^n|\}$ ， $\bar{T} = \max_{j,n} \{|T_j^n|\}$ ；若 $0 < \lambda < 1$ ，则有：

$$|e_j^{n+1}| \leq (1 - \lambda)E^n + \lambda E^n + \bar{T}\Delta t = E^n + \bar{T}\Delta t \leq \dots \leq$$

$$E^0 + n\bar{T}\Delta t = E^0 + \bar{T}t_n$$

若 $E^0 = 0$ ，即：初值是准确的；则：当 $\Delta t, h \rightarrow 0$ 时，

$\bar{T} \rightarrow 0$ ；且 $E^n \rightarrow 0$ ；即：数值解收敛，且收敛于精确解。

作业：P61：2.4.1–2.4.2

1.7 基于PDE的积分形式的有限差分格式的构造

常见的数值积分公式（回顾）

- 端点均为积分节点

$n = 1$ （梯形公式）：

$$\int_{x_0}^{x_1} f(x) dx = \frac{h}{2}(f(x_0) + f(x_1)) - \frac{h^3}{12}f''(\xi), \quad h = x_1 - x_0, \quad \xi \in (x_0, x_1)$$

$n = 2$ （Simpson公式）：

$$\int_{x_0}^{x_2} f(x) dx = \frac{h}{3}(f(x_0) + 4f(x_1) + f(x_2)) - \frac{h^5}{90}f^{(4)}(\xi),$$

$$h = x_2 - x_1 = x_1 - x_0, \quad \xi \in (x_0, x_2)$$

- 端点均不为积分节点

$n = 0$ （中点公式）：

$$\int_{x_{-1}}^{x_1} f(x) dx = 2hf(x_0) + \frac{h^3}{3}f''(\xi), \quad h = x_1 - x_0 = x_0 - x_{-1}, \quad \xi \in (x_{-1}, x_1)$$

$n = 1$ ：

$$\int_{x_{-1}}^{x_2} f(x) dx = \frac{3h}{2}(f(x_0) + f(x_1)) + \frac{3h^3}{4}f''(\xi),$$

$$h = x_2 - x_1 = x_1 - x_0 = x_0 - x_{-1}, \quad \xi \in (x_{-1}, x_2)$$

- 积分节点仅为一个端点

$$\int_a^b f(x) dx = (b-a)f(a) + \frac{1}{4}(b-a)^2 f'(\xi), \quad \xi \in (a, b)$$

针对 $u_t + au_x = 0$ ， a 为常数， $(x, t) \in \bar{D} = [0, 1] \times [0, T]$ ，基于其积分形式，构造以格点处的函数为未知数的有限差分格式。

一、剖分

用节点 $0 = x_0 < x_1 < \cdots < x_J = 1$ 将 $[0, 1]$ 分成 J 个小区

域(cell)；则涉及格

点 x_j 的cell为： $I_j = [x_{j-\frac{1}{2}}, x_{j+\frac{1}{2}}]$ ， $j = 1, \cdots, J-1$ 。

用节点 $0 = t_0 < t_1 < \cdots < t_N = T$ 将 $[0, T]$ 分成 N 个小区

域 $[t_n, x_{n+1}]$, $n = 0, \cdots, N-1$ 。

二、方程离散

取时空区域 $\Omega_j^n = [t_n, t_{n+1}] \times [x_{j-\frac{1}{2}}, x_{j+\frac{1}{2}}]$ 为控制区域（控制体）。

讨论控制体 Ω_j^n 上, $u_t + au_x = 0$ 的积分形式:

$$\int_{x_{j-\frac{1}{2}}}^{x_{j+\frac{1}{2}}} (u^{n+1} - u^n) dx + \int_{t_n}^{t_{n+1}} a(u_{j+\frac{1}{2}} - u_{j-\frac{1}{2}}) dt = 0$$

该方程式是精确成立的。用不同的数值积分公式对上述方程中的积分做近似, 得到不同的有限差分格式; 如:

由公式（积分节点仅为左端点）可得:

$$\begin{aligned} & \int_{t_n}^{t_{n+1}} (u_{j+\frac{1}{2}} - u_{j-\frac{1}{2}}) dt = \\ & (u_{j+\frac{1}{2}}^n - u_{j-\frac{1}{2}}^n) \Delta t + \frac{1}{4} \Delta t^2 (u_t|_{j+\frac{1}{2}}^\eta - u_t|_{j-\frac{1}{2}}^\eta), \quad \eta \in (t_n, t_{n+1}) \end{aligned}$$

由中点公式可得:

$$\int_{x_{j-\frac{1}{2}}}^{x_{j+\frac{1}{2}}} (u^{n+1} - u^n) dx = h(u_j^{n+1} - u_j^n) + \frac{1}{24} h^3 (u_{xx}^{n+1} - u_{xx}^n)|_{x=\xi}, \quad \xi \in (x_{j-\frac{1}{2}}, x_{j+\frac{1}{2}})$$

$$\Rightarrow: \frac{u_j^{n+1} - u_j^n}{\Delta t} + \frac{a}{h} (u_{j+\frac{1}{2}}^n - u_{j-\frac{1}{2}}^n) + O(h^2) + O(\Delta t) = 0, \quad u_{j+\frac{1}{2}}^n = \frac{1}{2} (u_{j+1}^n + u_j^n) + O(h^2)$$

$$\Rightarrow: \frac{u_j^{n+1} - u_j^n}{\Delta t} + \frac{a}{2h} (u_{j+1}^n - u_{j-1}^n) + O(h^2) + O(\Delta t) = 0, \quad \text{即FTCS格式}$$

\Rightarrow : 截断误差为 $O(h^2 + \Delta t)$; 对时间1阶、对空间2阶精度。

取时空区域 $\Omega_j^n = [t_{n-1}, x_{n+1}] \times [x_{j-\frac{1}{2}}, x_{j+\frac{1}{2}}]$ 为控制区域（控制体）。

讨论控制体 Ω_j^n 上, $u_t + au_x = 0$ 的积分形式:

$$\int_{x_{j-\frac{1}{2}}}^{x_{j+\frac{1}{2}}} (u^{n+1} - u^{n-1}) dx + \int_{t_n}^{t_{n+1}} a(u_{j+\frac{1}{2}} - u_{j-\frac{1}{2}}) dt = 0$$

该方程式精确成立的。用不同的数值积分公式对上述方程中的积分做近似, 得到不同的有限差分格式; 如:

由中点公式可得:

$$\begin{aligned} & \int_{t_{n-1}}^{t_{n+1}} (u_{j+\frac{1}{2}} - u_{j-\frac{1}{2}}) dt = \\ & 2\Delta t (u_{j+\frac{1}{2}}^n - u_{j-\frac{1}{2}}^n) + \frac{\Delta t^3}{3} (u_{tt}|_{j+\frac{1}{2}}^\eta - u_{tt}|_{j-\frac{1}{2}}^\eta), \quad \eta \in (t_{n-1}, t_{n+1}) \end{aligned}$$

由中点公式可得:

$$\begin{aligned} & \int_{x_{j-\frac{1}{2}}}^{x_{j+\frac{1}{2}}} (u^{n+1} - u^{n-1}) dx = \\ & h(u_j^{n+1} - u_j^{n-1}) + \frac{1}{24}h^3(u_{xx}^{n+1} - u_{xx}^{n-1})|_{x=\xi}, \quad \xi \in (x_{j-\frac{1}{2}}, x_{j+\frac{1}{2}}) \\ \Rightarrow & : \frac{u_j^{n+1} - u_j^{n-1}}{\Delta t} + \frac{a}{h}(u_{j+\frac{1}{2}}^n - u_{j-\frac{1}{2}}^n) + O(h^2) + O(\Delta t^2) = 0, \\ & u_{j+\frac{1}{2}}^n = \frac{1}{2}(u_{j+1}^n + u_j^n) + O(h^2) \\ \Rightarrow & : \frac{u_j^{n+1} - u_j^{n-1}}{\Delta t} + \frac{a}{h}(u_{j+1}^n - u_{j-1}^n) + O(h^2) + O(\Delta t) = 0, \quad \text{即CTCS格式} \end{aligned}$$

\Rightarrow : 截断误差为 $O(h^2 + \Delta t^2)$; 对时间2阶、对空间2阶精度。

作业: 针对 $u_t + au_x = 0$, a 为常数, 基于其积分形式构造时间1阶、空间3阶的有限差分格式

2 模型方程—扩散方程

2.1 常系数扩散方程初值问题

考虑常系数的扩散方程的初值问题：

$$\begin{cases} u_t = u_{xx} & -\infty < x < \infty, t > 0 \\ u(x, 0) = f(x) & -\infty < x < \infty \end{cases}; \text{ 其初值 } f(x) \text{ 为 } 2\pi \text{ 周期的周期函数。}$$

一、常系数扩散方程的初值问题的解

设初值为： $f(x) = \frac{1}{\sqrt{2\pi}} \sum_{\omega=-\infty}^{\infty} e^{i\omega x} \hat{f}(\omega)$ ，则解可设为（即：与初值同类型的解）： $u(x, t) = \frac{1}{\sqrt{2\pi}} \sum_{\omega=-\infty}^{\infty} e^{i\omega x} \hat{u}(\omega, t)$ ；代入方程及初值得：

$$\begin{cases} \frac{d\hat{u}}{dt} = -\omega^2 \hat{u} \\ \hat{u}(\omega, 0) = \hat{f}(\omega) \end{cases}$$

\Rightarrow ： $\hat{u}(\omega, t) = e^{-\omega^2 t} \hat{f}$ ；解

为： $u(x, t) = \frac{1}{\sqrt{2\pi}} \sum_{\omega=-\infty}^{\infty} e^{-\omega^2 t} \hat{f}(\omega) e^{i\omega x}$ 。

\Rightarrow ：每个Fourier分量都随时间 t 的增大而衰减；对大的 ω ，衰减是非常强的。而且，它不同于双曲型方程，它的传播速度是无限的。

此外，由Parseval关系得：

$$\|u(\cdot, t)\|^2 = \sum_{\omega=-\infty}^{\infty} |e^{-\omega^2 t} \hat{f}(\omega)|^2 \leq \|f(\cdot)\|^2$$

\Rightarrow ：能量稳定

二、有限差分方法

1. （时间）向前Euler方法（FTCS）——二层显式格式

$$v_j^{n+1} = (I + \Delta t D_+ D_-) v_j^n = v_j^n + \frac{\Delta t}{h^2} (v_{j+1}^n - 2v_j^n + v_{j-1}^n)$$

稳定性：取谐波解 $v_j^n = \frac{1}{\sqrt{2\pi}} e^{i\omega x_j} \hat{v}^n(\omega)$ ，代入格式，得：

$$\hat{v}^{n+1}(\omega) = (1 - 4\sigma \sin^2(\frac{\xi}{2})) \hat{v}^n(\omega) = \hat{Q} \hat{v}^n(\omega) = \cdots = \hat{Q}^{n+1} \hat{v}^0(\omega) = \hat{Q}^{n+1} \hat{f}(\omega)$$

\Rightarrow ：放大因子： $\hat{Q} = (1 - 4\sigma \sin^2(\frac{\xi}{2}))$ ， $\xi = \omega h$ ， $\sigma = \frac{\Delta t}{h^2}$ 。

若要求： $|\hat{Q}| \leq 1$ ，则有： $\sigma \leq \frac{1}{2}$ 。即： $\sigma \leq \frac{1}{2}$ 时，格式稳定。

截断误差：

$$T_j^n = \frac{u_j^{n+1} - u_j^n}{\Delta t} - \frac{u_{j+1}^n - 2u_j^n + u_{j-1}^n}{h^2}$$

$$= \frac{1}{2} \Delta t u_{tt}(x_j, t_n) - 2 \frac{h^2}{3!} u_{xxx}(x_j, t_n) + O(h^3 + \Delta t^2) = O(h^2 + \Delta t)$$

2. 蛙跳格式 (CTCS) —— 多层格式

$$v_j^{n+1} = v_j^{n-1} + 2\Delta t D_+ D_- v_j^n = v_j^{n-1} + 2 \frac{\Delta t}{h^2} (v_{j+1}^n - 2v_j^n + v_{j-1}^n)$$

稳定性：取谐波解 $v_j^n = \frac{1}{\sqrt{2\pi}} e^{i\omega x_j} \hat{v}^n(\omega)$ ，代入格式，得：

$$\hat{v}^{n+1}(\omega) = \hat{v}^{n-1}(\omega) - 8\sigma \sin^2(\frac{\xi}{2}) \hat{v}^n(\omega)$$

令 $\hat{v}^n = z^n$ ，代入上述方程得到其特征方

程： $z^2 + 8\sigma \sin^2(\frac{\xi}{2})z - 1 = 0$ 。

特征方程的解为： $z_{1,2} = -4\sigma \sin^2(\frac{\xi}{2}) \pm \sqrt{1 + (4\sigma \sin^2(\frac{\xi}{2}))^2}$

由于 $\xi \neq 0$ ，所以 $|z_{1,2}| > 1$ 。 \Rightarrow ：该方法不稳定，格式无

效。 \Rightarrow ：需要修正

将CTCS格式中 v_j^n 项用 $\frac{1}{2}(v_j^{n+1} + v_j^{n-1})$ 近似，得

到Dufort-Frankel格式：

$$v_j^{n+1} = v_j^{n-1} + 2 \frac{\Delta t}{h^2} (v_{j+1}^n - v_j^{n+1} - v_j^{n-1} + v_{j-1}^n)$$

$$\Rightarrow: v_j^{n+1} = \frac{1}{1+2\sigma}(2\sigma(v_{j+1}^n + v_{j-1}^n) + (1-2\sigma)v_j^{n-1})$$

特征方程: $z^2 - \frac{4\sigma}{1+2\sigma}\cos(\xi)z - \frac{1-2\sigma}{1+2\sigma} = 0$ 。其解为:

$$\begin{aligned} z_{1,2} &= \frac{2\sigma}{1+2\sigma}\cos(\xi) \pm \frac{1}{1+2\sigma}\sqrt{1-4\sigma^2\sin^2(\xi)} \\ &= \frac{2\sigma}{1+2\sigma}\cos(\xi) \pm \frac{1}{1+2\sigma}\sqrt{A}, \end{aligned}$$

其中 $A = 1 - 4\sigma^2\sin^2(\xi) \leq 1$ 。

若: $A \geq 0 \Rightarrow: |z_{1,2}| \leq \frac{2\sigma}{1+2\sigma} + \frac{1}{1+2\sigma} = 1$, 则格式稳定;

若: $A < 0 \Rightarrow: z_{1,2} = \frac{1}{1+2\sigma}(2\sigma\cos(\xi) \pm i\sqrt{-A})$,

$$|z_{1,2}| = \frac{1}{(1+2\sigma)^2}(4\sigma^2\cos^2(\xi) + 4\sigma^2\cos^2(\xi)) < 1, \text{ 则格式稳定}$$

\Rightarrow : D-F格式是无条件稳定的, 且是显式格式。

$$\begin{aligned} \text{截断误差: } T_j^n &= \frac{u_j^{n+1} - u_j^{n-1}}{2\Delta t} - \frac{u_{j+1}^n - u_j^{n+1} - u_j^{n-1} + u_{j-1}^n}{h^2} \\ &= \frac{u_j^{n+1} - u_j^{n-1}}{2\Delta t} - \frac{u_{j+1}^n - 2u_j^n + u_{j-1}^n}{h^2} + \frac{\Delta t^2}{h^2} \frac{u_j^{n+1} - 2u_j^n + u_j^{n-1}}{\Delta t^2} \\ &= (u_t - u_{xx} + \frac{\Delta t^2}{h^2} u_{tt} + O(\Delta t^2 + h^2 + \frac{h^4}{\Delta t^2}))|_j^n \end{aligned}$$

\Rightarrow : 若: $\lim_{h, \Delta t \rightarrow 0} \frac{\Delta t}{h} = 0$, 则: $\lim_{h, \Delta t \rightarrow 0} T_j^n = 0$ 。

如: 取 $\Delta t = c \cdot h^{1+\delta}$, 且 $\delta > 0$, 则有: $T_j^n = O(h^{2\delta})$ 。

当我们取 $\delta = 1$, 即: $\Delta t = c \cdot h^2$, 则格式的精度为 (2,2)

阶, 与CTCS格式精度一致。

3. (时间) 向后Euler方法 (BTCS) - 隐式格式

$$(I - \Delta t D_+ D_-) v_j^{n+1} = v_j^{n+1} - \frac{\Delta t}{h^2} (v_{j+1}^{n+1} - 2v_j^{n+1} + v_{j-1}^{n+1}) = v_j^n$$

稳定性: 取谐波解 $v_j^n = \frac{1}{\sqrt{2\pi}} e^{i\omega x_j} \hat{v}^n(\omega)$, 代入格式, 得:

$$\text{放大因子: } \hat{Q} = \left(\frac{1}{1+4\sigma\sin^2(\frac{\xi}{2})} \right), \quad \xi = \omega h, \quad \sigma = \frac{\Delta t}{h^2}.$$

$\Rightarrow: |\hat{Q}| \leq 1$, 即: 对所有非零的 ω 都是衰减的, 格式是无条件稳定的

\Rightarrow : 在计算中可以取 $\Delta t = h$ 。

截断误差：

$$\begin{aligned} T_j^{n+1} &= \frac{u_j^{n+1} - u_j^n}{\Delta t} - \frac{u_{j+1}^{n+1} - 2u_j^{n+1} + u_{j-1}^{n+1}}{h^2} \\ &= (u_t - u_{xx} - \frac{\Delta t}{2}u_{tt} - \frac{1}{12}h^2u_{xxxx} + \cdots)|_j^{n+1} \\ &= O(\Delta t + h^2) \end{aligned}$$

整体误差：

$$\begin{aligned} v_j^{n+1} &= v_j^n + \sigma(v_{j+1}^{n+1} - 2v_j^{n+1} + v_{j-1}^{n+1}) \\ u_j^{n+1} &= u_j^n + \sigma(u_{j+1}^{n+1} - 2u_j^{n+1} + u_{j-1}^{n+1}) + T_j^{n+1}\Delta t \end{aligned}$$

整体误差： $e_j^{n+1} = v_j^{n+1} - u_j^{n+1}$

$$\Rightarrow: e_j^{n+1} = e_j^n + \sigma(e_{j+1}^{n+1} - 2e_j^{n+1} + e_{j-1}^{n+1}) - T_j^{n+1}\Delta t$$

$$\Rightarrow: (1 + 2\sigma)e_j^{n+1} = e_j^n + \sigma(e_{j+1}^{n+1} + e_{j-1}^{n+1}) - T_j^{n+1}\Delta t$$

假设 T_j^{n+1} 有上界： $\bar{T} = \max_{j,n} \sup |T_j^{n+1}|$ ；

令 $E^n = \max_j |e_j^n|$ ；则有：

$$\sigma > 0, \Rightarrow: (1 + 2\sigma)E^{n+1} \leq E^n + 2\sigma E^{n+1} + \bar{T}\Delta t$$

$$\Rightarrow: E^{n+1} \leq E^n + \bar{T}\Delta t \leq \cdots \leq E^0 + (n+1)\Delta t\bar{T}$$

若初值为准确值 $E^0 = 0$ ， $t_{n+1} = (n+1)\Delta t \leq t_{end}$ ，则有：

$$E^{n+1} \leq \bar{T}t_{end} \leq \frac{\Delta t}{2}(M_{tt} + \frac{1}{6\sigma}M_{xxxx})t_{end}$$

$\Rightarrow: \Delta t, h \rightarrow 0$ 时， $E^{n+1} \rightarrow 0$ ；即：数值解收敛于准确解，格式收敛。

4. Crank-Nicolson格式-显式格式

$$u_t = u_x = \frac{1}{2}u_{xx} + \frac{1}{2}u_{xx},$$

$$(I - \frac{\Delta t}{2}D_+D_-)v_j^{n+1} = (I + \frac{\Delta t}{2}D_+D_-)v_j^n, \quad j = 0, \cdots, J$$

$$\Rightarrow: \text{放大因子: } \hat{Q} = \frac{1 - 2\sigma \sin^2(\frac{\xi}{2})}{1 + 2\sigma \sin^2(\frac{\xi}{2})}$$

$$\Rightarrow: |\hat{Q}| \leq 1. \text{ 该格式是无条件稳定的。}$$

5. θ -方法-显式格式

$$u_t = u_{xx} = \theta u_{xx} + (1 - \theta) u_{xx},$$

$$(I - \frac{\Delta t}{2} \theta D_+ D_-) v_j^{n+1} = (I + \frac{\Delta t}{2} (1 - \theta) D_+ D_-) v_j^n, \quad j = 0, \dots, J;$$

其中 $0 \leq \theta \leq 1$ 。

\Rightarrow ：是关于 u_j^{n+1} 的三对角方程组：

$$-\theta \sigma v_{j-1}^{n+1} + (1 + 2\theta \sigma) v_j^{n+1} - \theta \sigma v_{j+1}^{n+1} = v_j^n + (1 - \theta) \sigma (v_{j+1}^n - 2v_j^n + v_{j-1}^n)$$

$$\Rightarrow$$
：放大因子： $\hat{Q} = \frac{1 - 4(1 - \theta) \sigma \sin^2(\frac{\xi}{2})}{1 + 4\theta \sigma \sin^2(\frac{\xi}{2})}$

\Rightarrow ：当 $1 \geq \theta \geq \frac{1}{2}$ 时， $|\hat{Q}| \leq 1$ 。该格式是无条件稳定的。

\Rightarrow ：通常取 $1 \geq \theta \geq \frac{1}{2}$ ；

$\theta = 0$ ，为FTCS格式； $\theta = 1$ ，为BTCS格式；

$\theta = \frac{1}{2}$ ，为Crank-Nicolson 格式

作业：P70: 2.5.2, 2.5.3

2.2 基于PDE的积分形式的有限差分格式的构造

常见的数值积分公式（回顾）

— 端点均为积分节点

$$n = 1 \quad (\text{梯形公式}) : \int_{x_0}^{x_1} f(x) = \frac{h}{2}(f(x_0) + f(x_1)) - \frac{h^3}{12}f''(\xi), \quad h = x_1 - x_0, \quad \xi \in (x_0, x_1)$$

$n = 2$ (Simpson公

$$\text{式}) : \int_{x_0}^{x_2} f(x) = \frac{h}{3}(f(x_0) + 4f(x_1) + f(x_2)) - \frac{h^5}{90}f^{(4)}(\xi), \quad h = x_2 - x_1 = x_1 - x_0, \quad \xi \in (x_0, x_2)$$

— 端点均不为积分节点

$$n = 0 \quad (\text{中点公式}) : \int_{x_{-1}}^{x_1} f(x) = 2hf(x_0) + \frac{h^3}{3}f''(\xi), \quad h = x_1 - x_0 = x_0 - x_{-1}, \quad \xi \in (x_{-1}, x_1)$$

$$n = 1 : \int_{x_{-1}}^{x_2} f(x) = \frac{3h}{2}(f(x_0) + f(x_1)) + \frac{3h^3}{4}f''(\xi), \quad h = x_2 - x_1 = x_1 - x_0 = x_0 - x_{-1}, \quad \xi \in (x_{-1}, x_2)$$

— 一个端点均为积分节点

$$\int_a^b f(x) = (b-a)f(a) + \frac{1}{4}(b-a)^2 f'(\xi), \quad \xi \in (a, b)$$

一、剖分

用节点 $0 = x_0 < x_1 < \cdots < x_M = 1$ 将 $[0, 1]$ 分成 M 个小区域(cell); 则涉及格

点 x_j 的cell为: $I_j = [x_{j-\frac{1}{2}}, x_{j+\frac{1}{2}}]$, $j = 1, \cdots, M-1$ 。

用节点 $0 = t_0 < t_1 < \cdots < t_N = T$ 将 $[0, T]$ 分成 N 个小区域 $[t_n, t_{n+1}]$, $n = 0, \cdots, N-1$ 。

二、方程离散

考虑 $u_t = u_{xx} + f(x, t)$, $(x, t) \in \bar{\Omega} = [0, 1] \times [0, T]$

(一) 基于积分形式, 构造以**函数的格点值**为未知数的有限差分格式

取时空区域 $\Omega_j^n = [t_n, t_{n+1}] \times [x_{j-\frac{1}{2}}, x_{j+\frac{1}{2}}]$ 为控制区域 (控制体)。

讨论控制体 Ω_j^n 上, $u_t = u_{xx} + f(x, t)$ 的积分形式:

$\int_{x_{j-\frac{1}{2}}}^{x_{j+\frac{1}{2}}} (u^{n+1} - u^n) dx = \int_{t_n}^{t_{n+1}} ((u_x)_{j+\frac{1}{2}} - (u_x)_{j-\frac{1}{2}}) dt + \int_{t_n}^{t_{n+1}} \int_{x_{j-\frac{1}{2}}}^{x_{j+\frac{1}{2}}} f(x, t) dx dt$ 该方程式精确成立的。用不同的数值积分公式对上述方程中的积分做近似, 得到不同的有限差分格式。

1. 源项

$$\begin{aligned} \int_{t_n}^{t_{n+1}} \int_{x_{j-\frac{1}{2}}}^{x_{j+\frac{1}{2}}} f(x, t) dx dt &= \int_{t_n}^{t_{n+1}} (hf(x_j, t) + \frac{h^3}{24} f_{xx}(\xi, t)) dt \\ &= h(\Delta t f(x_j, t_n) + \frac{\Delta t^2}{4} f_t(x, \eta)) + O(h^3 \Delta t) \\ &= h\Delta t f(x_j, t_n) + O(h\Delta t^2) + O(\Delta t h^3) \end{aligned}$$

2. 流量项

$$\begin{aligned} \int_{t_n}^{t_{n+1}} ((u_x)_{j+\frac{1}{2}} - (u_x)_{j-\frac{1}{2}}) dt &= \frac{\Delta t ((u_x)_{j+\frac{1}{2}}^n - (u_x)_{j-\frac{1}{2}}^n) + \frac{\Delta t^2}{4} ((u_x)_{j+\frac{1}{2}} - (u_x)_{j-\frac{1}{2}})_t|_{t=\eta_2}}{(u_x)_{j+\frac{1}{2}} - (u_x)_{j-\frac{1}{2}}} = \\ &= h(u_{xx})_j + O(h^3) = \\ &= h(D_+ D_- u_j + O(h^2)) + O(h^3) \end{aligned}$$

$$\Rightarrow : \underline{((u_x)_{j+\frac{1}{2}} - (u_x)_{j-\frac{1}{2}})_t = O(h)}$$

$$\int_{x_{j-\frac{1}{2}}}^{x_{j+\frac{1}{2}}} (u^{n+1} - u^n) dx = h(u_j^{n+1} - u_j^n) + \frac{1}{3}(\frac{h}{2})^3 (u^{n+1} - u^n)_{xx}|_{x=\xi_1} = O(\Delta t h^3)$$

$$u^{n+1} - u^n = \Delta t u_t + O(\Delta t^2) = O(\Delta t)$$

$$\Rightarrow : \underline{(u^{n+1} - u^n)_{xx} = O(\Delta t)}$$

$$\Rightarrow : h(u_j^{n+1} - u_j^n) + O(\Delta t h^3) = h\Delta t f(x_j, t_n) +$$

$$O(h\Delta t^2) + O(\Delta t h^3) + hD_+ D_- u_j^n + O(\Delta t h^3) + O(\Delta t^2 h)$$

$$\Rightarrow: u_j^{n+1} - u_j^n =$$

$$\Delta t f(x_j, t_n) + \Delta t D_+ D_- u_j^n + O(\Delta t^2) + O(\Delta t h^2)$$

$$\Rightarrow \text{差分格式: } v_j^{n+1} - v_j^n = \Delta t f(x_j, t_n) + \Delta t D_+ D_- v_j^n$$

取时空区域 $\Omega_j^n = [t_{n-1}, t_{n+1}] \times [x_{j-\frac{1}{2}}, x_{j+\frac{1}{2}}]$ 为控制区域 (控制体)。

讨论控制体 Ω_j^n 上, $u_t = u_{xx} + f(x, t)$ 的积分形

式: $\int_{x_{j-\frac{1}{2}}}^{x_{j+\frac{1}{2}}} (u^{n+1} - u^{n-1}) dx =$
 $\int_{t_{n-1}}^{t_{n+1}} ((u_x)_{j+\frac{1}{2}} - (u_x)_{j-\frac{1}{2}}) dt + \int_{t_{n-1}}^{t_{n+1}} \int_{x_{j-\frac{1}{2}}}^{x_{j+\frac{1}{2}}} f(x, t) dx dt$ 该方
 程式精确成立的。用不同的数值积分公式对上述方程
 中的积分做近似, 得到不同的有限差分格式。

1. 源项

$$\int_{t_{n-1}}^{t_{n+1}} \int_{x_{j-\frac{1}{2}}}^{x_{j+\frac{1}{2}}} f(x, t) dx dt = 2h\Delta t f(x_j, t_n) + O(h\Delta t^3)$$

2. 流量项

$$\int_{t_{n-1}}^{t_{n+1}} ((u_x)_{j+\frac{1}{2}} - (u_x)_{j-\frac{1}{2}}) dt =$$

$$2h\Delta t D_+ D_- u_j^n + O(h\Delta t^3) + O(\Delta t h^3)$$

$$\Rightarrow: h(u_j^{n+1} - u_j^{n-1}) = 2h\Delta t f(x_j, t_n) + O(h\Delta t^2) +$$

$$2hD_+ D_- u_j^n + O(\Delta t h^3) + O(\Delta t^3 h)$$

\Rightarrow 差分格

$$\text{式: } v_j^{n+1} = v_j^{n-1} + 2\Delta t f(x_j, t_n) + 2\Delta t D_+ D_- v_j^n$$

(二) 基于积分形式, 构造以函数的网格平均为未知数的有限差分格式

取时空区域 $\Omega_j^n = [t_n, t_{n+1}] \times [x_{j-\frac{1}{2}}, x_{j+\frac{1}{2}}]$ 为控制区域 (控制体)。

$$\int_{x_{j-\frac{1}{2}}}^{x_{j+\frac{1}{2}}} (u^{n+1} - u^n) dx = \int_{t_n}^{t_{n+1}} ((u_x)_{j+\frac{1}{2}} - (u_x)_{j-\frac{1}{2}}) dt$$

$$+ \int_{t_n}^{t_{n+1}} \int_{x_{j-\frac{1}{2}}}^{x_{j+\frac{1}{2}}} f(x, t) dx dt. \text{ 该方程式精确成立的。}$$

令 \bar{u}_j 、 \bar{f}_j 分别为在网格 $[x_{j-\frac{1}{2}}, x_{j+\frac{1}{2}}]$ 上的积分平均，

即： $\bar{u}_j = \frac{1}{h} \int_{x_{j-\frac{1}{2}}}^{x_{j+\frac{1}{2}}} u(x, t) dx$ ， $\bar{f}_j = \frac{1}{h} \int_{x_{j-\frac{1}{2}}}^{x_{j+\frac{1}{2}}} f(x, t) dx$ ，则

有：

$$\begin{aligned} \int_{x_{j-\frac{1}{2}}}^{x_{j+\frac{1}{2}}} (u^{n+1} - u^n) dx &= h(\bar{u}_j^{n+1} - \bar{u}_j^n) \\ \int_{t_n}^{t_{n+1}} \int_{x_{j-\frac{1}{2}}}^{x_{j+\frac{1}{2}}} f(x, t) dx dt &= h \int_{t_n}^{t_{n+1}} \bar{f}_j dt \end{aligned}$$

$$h(\bar{u}_j^{n+1} - \bar{u}_j^n) = h \int_{t_n}^{t_{n+1}} \bar{f}_j dt + \int_{t_n}^{t_{n+1}} ((u_x)_{j+\frac{1}{2}} - (u_x)_{j-\frac{1}{2}}) dt$$

该方程式精确成立的，与守恒率的积分形式等价。下面对

上式中的积分做近似，有：

$$\begin{aligned} \bar{u}_{j+1} - \bar{u}_j &= \frac{1}{h} \int_{x_{j+\frac{1}{2}}}^{x_{j+\frac{3}{2}}} u(x, t) dx - \frac{1}{h} \int_{x_{j-\frac{1}{2}}}^{x_{j+\frac{1}{2}}} u(x, t) dx \\ &= \frac{1}{h} \int_{x_{j-\frac{1}{2}}}^{x_{j+\frac{1}{2}}} (u(x+h, t) - u(x, t)) dx \\ &= \frac{1}{h} \int_{x_{j-\frac{1}{2}}}^{x_{j+\frac{1}{2}}} (hu_x + \frac{h^2}{2}u_{xx} + \frac{h^3}{6}u_{xxx} + \frac{h^4}{24}u_{xxxx} + O(h^5)) dx \\ &= \frac{1}{h} (h(u_{j+\frac{1}{2}} - u_{j-\frac{1}{2}}) + \frac{h^2}{2}((u_x)_{j+\frac{1}{2}} - (u_x)_{j-\frac{1}{2}}) + \frac{h^3}{6}((u_{xx})_{j+\frac{1}{2}} - (u_{xx})_{j-\frac{1}{2}}) \\ &\quad + \frac{h^4}{24}((u_{xxx})_{j+\frac{1}{2}} - (u_{xxx})_{j-\frac{1}{2}}) + O(h^6)) \end{aligned}$$

同理可得：

$$\begin{aligned} \bar{u}_j - \bar{u}_{j-1} &= \frac{1}{h} \int_{x_{j-\frac{1}{2}}}^{x_{j+\frac{1}{2}}} u(x, t) dx - \frac{1}{h} \int_{x_{j-\frac{3}{2}}}^{x_{j-\frac{1}{2}}} u(x, t) dx \\ &= \frac{1}{h} (h(u_{j+\frac{1}{2}} - u_{j-\frac{1}{2}}) - \frac{h^2}{2}((u_x)_{j+\frac{1}{2}} - (u_x)_{j-\frac{1}{2}}) + \frac{h^3}{6}((u_{xx})_{j+\frac{1}{2}} - (u_{xx})_{j-\frac{1}{2}}) \\ &\quad - \frac{h^4}{24}((u_{xxx})_{j+\frac{1}{2}} - (u_{xxx})_{j-\frac{1}{2}}) + O(h^6)) \end{aligned}$$

\Rightarrow ：

$$\begin{aligned} D_+ D_- \bar{u}_j &= \frac{1}{h^2} (\bar{u}_{j+1} - 2\bar{u}_j + \bar{u}_{j-1}) = \frac{1}{h^2} ((\bar{u}_{j+1} - \bar{u}_j) - (\bar{u}_j - \bar{u}_{j-1})) \\ &= \frac{1}{h^2} (h((u_x)_{j+\frac{1}{2}} - (u_x)_{j-\frac{1}{2}}) + \frac{h^4}{12}((u_{xxx})_{j+\frac{1}{2}} - (u_{xxx})_{j-\frac{1}{2}}) + O(h^5)) \\ &= \frac{1}{h} ((u_x)_{j+\frac{1}{2}} - (u_x)_{j-\frac{1}{2}}) + O(h^3) \\ \int_{t_n}^{t_{n+1}} ((u_x)_{j+\frac{1}{2}} - (u_x)_{j-\frac{1}{2}}) dt &= \int_{t_n}^{t_{n+1}} (h D_+ D_- \bar{u}_j + O(h^3)) dt \\ &= \Delta t h D_+ D_- \bar{u}_j + O(\Delta t h^3) + \Delta t^2 (h D_+ D_- \bar{u}_j + O(h^3)) \\ &= \Delta t h D_+ D_- \bar{u}_j + O(\Delta t h^3) + O(h \Delta t^2) \\ \int_{t_n}^{t_{n+1}} \bar{f}_j &= \Delta t \bar{f}_j^n + O(\Delta t^2) \end{aligned}$$

$$h(\bar{u}_j^{n+1} - \bar{u}_j^n) = h \int_{t_n}^{t_{n+1}} \bar{f}_j dt + \int_{t_n}^{t_{n+1}} ((u_x)_{j+\frac{1}{2}} - (u_x)_{j-\frac{1}{2}}) dt$$

2.2 基于PDE的积分形式的有限差分格式的构造

2 模型方程—扩散方程

$$\Rightarrow : \bar{u}_j^{n+1} = \bar{u}_j^n + \Delta t \bar{f}_j^n + \Delta t D_+ D_- \bar{u}_j + O(\Delta t^2) + O(\Delta t h^2)$$

$$\Rightarrow : \bar{v}_j^{n+1} = \bar{v}_j^n + \Delta t \bar{f}_j^n + \Delta t D_- D_+ \bar{v}_j + O(\Delta t^2) + O(\Delta t h^2)$$

这类格式很难做误差分析

作业：针对 $u_t = u_{xx}$ ，基于其在控制

体 $\Omega_j^n = [t_{n-1}, t_{n+1}] \times [x_{j-\frac{1}{2}}, x_{j+\frac{1}{2}}]$ 上的积分形式，构造以函数的网格平均为未知数的有限差分格式，并给出精度。

2.3 用待定系数法构造高阶有限差分格式

构造高阶有限差分格式的关键是用构造导数的高阶近似。

待定系数法构造导数的高阶近似：用若干点的函数值的线性组合近似函数的导数（包括高阶导数）的方法

一、均匀网格剖分

对于均匀剖分，可以论证：用 u 在三个

点： $x_{j\pm1} = (j \pm 1)h, x_j = jh$ 处的函数值的线性组合是无法得到 u_{xx} 的3阶近似。

\Rightarrow ：点的个数很重要。

讨论：是否可以用 u 在五个

点： $x_{j\pm2} = (j \pm 2)h, x_{j\pm1} = (j \pm 1)h, x_j = jh$ 处的函数值的线性组合得到 u_{xx} 的4阶近似？

令 $\Delta = \alpha_1 u_{j-2} + \alpha_2 u_{j-1} + \alpha_3 u_j + \alpha_4 u_{j+1} + \alpha_5 u_{j+2} \approx u_{xx}$ ，
其中 $\alpha_1, \alpha_2, \alpha_3, \alpha_4, \alpha_5$ 是待定系数。将 Δ 在 x_j 处做Taylor展开，得：

$$\begin{aligned}\Delta &= (\alpha_1 + \alpha_2 + \alpha_3 + \alpha_4 + \alpha_5)u_j \\ &+ h(-2\alpha_1 - \alpha_2 + \alpha_4 + 2\alpha_5)(u_x)_j \\ &+ h^2(2\alpha_1 + \frac{1}{2}\alpha_2 + \frac{1}{2}\alpha_4 + 2\alpha_5)(u_{xx})_j \\ &+ h^3(-\frac{4}{3}\alpha_1 - \frac{1}{6}\alpha_2 + \frac{1}{6}\alpha_4 + \frac{4}{3}\alpha_5)(u_{xxx})_j \\ &+ h^4(\frac{2}{3}\alpha_1 + \frac{1}{24}\alpha_2 + \frac{1}{24}\alpha_4 + \frac{2}{3}\alpha_5)(u_{xxxx})_j \\ &+ h^5(-\frac{4}{15}\alpha_1 - \frac{1}{120}\alpha_2 + \frac{1}{120}\alpha_4 + \frac{4}{15}\alpha_5)(u_{xxxxx})_j \\ &+ O(h^6) \approx (u_{xx})_j\end{aligned}$$

$$\Rightarrow: \begin{cases} \alpha_1 + \alpha_2 + \alpha_3 + \alpha_4 + \alpha_5 = 0 \\ -2\alpha_1 - \alpha_2 + \alpha_4 + 2\alpha_5 = 0 \\ (2\alpha_1 + \frac{1}{2}\alpha_2 + \frac{1}{2}\alpha_4 + 2\alpha_5)h^2 = 1 \\ -\frac{4}{3}\alpha_1 - \frac{1}{6}\alpha_2 + \frac{1}{6}\alpha_4 + \frac{4}{3}\alpha_5 = 0 \\ \frac{2}{3}\alpha_1 + \frac{1}{24}\alpha_2 + \frac{1}{24}\alpha_4 + \frac{2}{3}\alpha_5 = 0 \end{cases}$$

此方程组有5个方程、5个未知数，且系数矩阵满秩，所以

$$\text{有唯一解: } \begin{cases} \alpha_1 = -\frac{1}{6h^2} \\ \alpha_2 = \frac{5}{3h^2} \\ \alpha_3 = -\frac{3}{h^2} \\ \alpha_4 = \frac{5}{3h^2} \\ \alpha_5 = -\frac{1}{6h^2} \end{cases}$$

将 α_1 、 α_2 、 α_3 、 α_4 、 α_5 代入 Δ 中 $(u_{xxxx})_j$ 的系数，得：

$$-\frac{4}{15}\alpha_1 - \frac{1}{120}\alpha_2 + \frac{1}{120}\alpha_4 + \frac{4}{15}\alpha_5 = 0$$

此时有： $\Delta = (u_{xx})_j + O(h^4)$ ；即 Δ 是 u_{xx} 的4阶近似。

\Rightarrow ： $u_t = u_{xx}$ 的空间4阶，时间1阶的差分格式：

$$v_j^{n+1} = v_j^n + \frac{\Delta t}{h^2} \left(-\frac{1}{6}v_{j-2}^n + \frac{4}{3}v_{j-1}^n - 3v_j^n + \frac{5}{3}v_{j+1}^n - \frac{1}{6}v_{j+2}^n \right)$$

理论上：可通过多个点的函数值的线性组合得到导数的足够高阶的近似。

实际上：如果用的点太多（即：模板太大），将带来边界处理的困难。

二、非均匀网格剖分

空间区域剖分：在很多情况下，为了减少计算量，空间区域的剖分要用非均匀剖分，尤其是对自适应算法。

如取非均匀剖分： $x_{j+1} - x_j = \frac{3}{2}h$ ， $x_j - x_{j-1} = \frac{3}{4}h$ 。

若用 u 在三个点: $x_{j\pm 1}, x_j$ 处的函数值的线性组合近似 u_{xx} , 则有:

$\Delta = \alpha_1 u_{j+1} + \alpha_2 u_j + \alpha_3 u_{j-1} \approx u_{xx}$, 其中 $\alpha_1, \alpha_2, \alpha_3$ 是待定系数。

$u_{j\pm 1}$ 在 x_j 处做Taylor展开为:

$$u_{j+1} = u_j + \frac{3}{2}h(u_x)_j + \left(\frac{3}{2}h\right)^2(u_{xx})_j + O(h^3)$$

$$u_{j-1} = u_j + \frac{-3}{4}h(u_x)_j + \left(\frac{-3}{4}h\right)^2(u_{xx})_j + O(h^3)$$

则有:

$$\begin{aligned} \Delta &= (\alpha_1 + \alpha_2 + \alpha_3)u_j + \left(\frac{3}{2}\alpha_1 - \frac{3}{4}\alpha_3\right)h(u_x)_j \\ &\quad + \frac{1}{2}\left(\left(\frac{3}{2}\right)^2\alpha_1 + \left(\frac{3}{4}\right)^2\alpha_3\right)h^2(u_{xx})_j + O(h^3) \approx (u_{xx})_j \end{aligned}$$

$$\Rightarrow: \begin{cases} \alpha_1 + \alpha_2 + \alpha_3 = 0 \\ \frac{3}{2}\alpha_1 - \frac{3}{4}\alpha_3 = 0 \\ \frac{1}{2}\left(\left(\frac{3}{2}\right)^2\alpha_1 + \left(\frac{3}{4}\right)^2\alpha_3\right)h^2 = 1 \end{cases}, \Rightarrow: \begin{cases} \alpha_1 = \frac{16}{27h^2} \\ \alpha_2 = -\frac{3 \times 16}{27h^2} \\ \alpha_3 = \frac{2 \times 16}{27h^2} \end{cases}$$

$$\Rightarrow: u_t = u_{xx} \text{ 的空间、时间均为1阶的差分格式:}$$

$$v_j^{n+1} = v_j^n + \frac{16\Delta t}{27h}(2v_{j-1}^n - 3v_j^n + v_{j+1}^n)$$

\Rightarrow : 非均匀网格比均匀网格要复杂的多, 且很难做分析研究。

对于缓变网格, 可通过坐标变换, 在变换平面进行

作业: 试证; (均匀剖分) 用 u 在三个

点: $x_{j\pm 1} = (j \pm 1)h, x_j = jh$ 处的函数值的线性组合是无法得到 u_{xx} 的3阶或高于3阶的近似。

2.4 变系数扩散方程

考虑变数的扩散方

程: $u_t = b(x, t)u_{xx}, -\infty < x < \infty, t > 0$, 其中热传导系

数 $b(x, t) > 0$ 。

1. FTCS格式:

$$v_j^{n+1} = (I + b_j^n \Delta t D_+ D_-) v_j^n = v_j^n + b_j^n \frac{\Delta t}{h^2} (v_{j+1}^n - 2v_j^n + v_{j-1}^n)$$

, 其中 $b_j^n = b(x_j, t_n)$ 。

稳定性:

取谐波解 $v_j^n = \frac{1}{\sqrt{2\pi}} e^{i\omega x_j} \hat{v}^n(\omega)$, 代入格式,
得: $\hat{v}^{n+1}(\omega) = (1 - 4b_j^n \sigma \sin^2(\frac{\xi}{2})) \hat{v}^n(\omega) = \hat{Q} \hat{v}^n(\omega) = \dots = \hat{Q}^{n+1} \hat{v}^0(\omega)$

$= \hat{Q}^{n+1} \hat{f}(\omega)$, 放大因

子: $\hat{Q} = (1 - 4b_j^n \sigma \sin^2(\frac{\xi}{2}))$, $\xi = \omega h$, $\sigma = \frac{\Delta t}{h^2}$ 。

若要求: $|\hat{Q}| \leq 1$, 则有: $b_j^n \sigma \leq \frac{1}{2}$;

即: $b_j^n \sigma \leq \frac{1}{2}$ 时, 格式稳定。

截断误差:

$$\begin{aligned} T_j^n &= \frac{u_j^{n+1} - u_j^n}{\Delta t} - b_j^n \frac{u_{j+1}^n - 2u_j^n + u_{j-1}^n}{h^2} \\ &= \frac{1}{2} \Delta t u_{tt}(x_j, t_n) - 2 \frac{h^2}{4!} u_{xxxx}(x_j, t_n) + O(h^4 + \Delta t^2) = \\ &O(h^2 + \Delta t) \end{aligned}$$

整体误差:

$$\begin{aligned} v_j^{n+1} &= v_j^n + b_j^n \sigma (v_{j+1}^{n+1} - 2v_j^{n+1} + v_{j-1}^{n+1}) \\ u_j^{n+1} &= u_j^n + b_j^n \sigma (u_{j+1}^{n+1} - 2u_j^{n+1} + u_{j-1}^{n+1}) + T_j^{n+1} \Delta t \end{aligned}$$

整体误差: $e_j^{n+1} = v_j^{n+1} - u_j^{n+1}$

$$\Rightarrow: e_j^{n+1} = e_j^n + b_j^n \sigma (e_{j+1}^{n+1} - 2e_j^{n+1} + e_{j-1}^{n+1}) - T_j^{n+1} \Delta t$$

$$\Rightarrow: (1 + 2b_j^n \sigma) e_j^{n+1} = e_j^n + b_j^n \sigma (e_{j+1}^{n+1} + e_{j-1}^{n+1}) - T_j^{n+1} \Delta t$$

假设 B 是 $b(x, t)$ 在计算区域的最小上界；且 T_j^{n+1} 有上

界： $\bar{T} = \max_{j,n} \sup |T_j^{n+1}|$ ；令 $E^n = \max_j |e_j^n|$ ；则有：

$$\sigma > 0, \Rightarrow: (1 + 2\sigma)E^{n+1} \leq E^n + 2\sigma E^{n+1} + \bar{T}\Delta t$$

$$\Rightarrow: E^{n+1} \leq E^n + \bar{T}\Delta t \leq \cdots \leq E^0 + (n+1)\Delta t\bar{T}$$

若初值为准确值 $E^0 = 0$ ， $t_{n+1} = (n+1)\Delta t \leq t_{end}$ ，则

有：

$$E^{n+1} \leq \bar{T}t_{end} \leq \frac{\Delta t}{2}(M_{tt} + \frac{1}{6\sigma}M_{xxxx})t_{end}$$

$\Rightarrow: \Delta t, h \rightarrow 0$ 时， $E^{n+1} \rightarrow 0$ ；即：数值解收敛于准确解，格式收敛。

2. θ -方法

$$u_t = b(x, t)u_{xx} = \theta b(x, t)u_{xx} + (1 - \theta)b(x, t)u_{xx},$$

$$v_j^{n+1} = v_j^n + \Delta t b^*(\theta D_+ D_- v_j^{n+1} + (1 - \theta)D_+ D_- v_j^n), \quad j =$$

$0, \dots, J$ ；其中 $0 \leq \theta \leq 1$ ， b^* 可以做多种选择，

如 $b^* = \frac{b_j^{n+1} + b_j^n}{2}$ 、 $b^* = b_j^{n+\frac{1}{2}}$ 等。

截断误差：为简单起见，取 $b^* = b_j^{n+1}$

$$T_j^{n+\frac{1}{2}} =$$

$$\begin{aligned} & [(\frac{1}{2} - \theta)\Delta t u_{xxt} - \frac{b}{12}(\Delta x)^2 u_{xxxx} + \frac{1}{24}(\Delta t)^2 u_{ttt} - \frac{b}{8}(\Delta t)^2 u_{xxtt} \\ & + \frac{1}{12}(\frac{1}{2} - \theta)\Delta t(\Delta x)^2 u_{xxxxt} - \frac{2b}{6!}(\Delta x)^4 u_{xxxxxx} + \cdots]_j^{n+\frac{1}{2}} \end{aligned}$$

稳定性条件、收敛性条件均为：在所考虑的计算区域中的每一点都有：

$$\frac{\Delta t}{(\Delta x)^2}(1 - \theta)b(x, t) \leq \frac{1}{2}$$

作业：针对偏微分方程： $u_t = (p(x)u_x)_x$ ，构造有限差分格式，并且分析其截断误差。